

AI 发展简史

课程名： Datascience

二级学院： 计算机信息工程学院

班 级： 23 软一

学 号： 23030327

姓 名： 许子祺

摘要

本研究深入探讨了人工智能（AI）^[1]技术的演进历程、当前发展前沿及其对全球社会与经济产生的深远影响。自 20 世纪中叶概念提出以来，人工智能经历了数次发展浪潮，尤其是在近年来，得益于计算能力的指数级提升、大数据资源的积累以及机器学习算法的创新，人工智能已取得了突破性的进展。本文首先回顾了人工智能从符号主义到连接主义的理论演变，并梳理了神经网络、支持向量机等关键技术的发展脉络。随后，本研究着重分析了当前人工智能领域的核心突破，包括以 Transformer 模型为代表的深度学习在自然语言处理和计算机视觉领域的广泛应用，生成式对抗网络（GANs）和扩散模型在内容创作中的革命性作用，以及强化学习在复杂决策和自动化控制方面的显著成效。

此外，本文详细探讨了人工智能在各个关键行业领域的具体应用，例如在医疗健康领域用于疾病诊断、药物研发和个性化治疗；在教育领域实现智能辅导和个性化学习路径；在金融领域优化风险管理与欺诈检测；以及在交通领域推动自动驾驶和智能物流的发展。在肯定人工智能巨大潜力的同时，本研究也客观分析了其带来的挑战，包括数据隐私与安全、算法偏见、就业结构变化、以及伦理道德与法律责任等复杂问题。最后，本文对人工智能的未来发展趋势进行了展望，预示了通用人工智能（AGI）的潜在方向、人机协作模式的深化以及人工智能在可持续发展目标中的作用。研究强调，在积极拥抱人工智能带来的机遇的同时，社会各界必须共同努力，制定健全的监管框架、推动跨学科研究、并加强公众教育，以确保人工智能技术能够负责任地、公平地、普惠地造福全人类，构建一个更加智能、高效和可持续的未来。

前言

在 21 世纪的今天，人工智能（Artificial Intelligence, AI）^[2]已经不再是科幻小说中的遥远设想，而是深刻融入我们日常生活、工作和社会的现实。从智能手机的语音助手到推荐系统，从自动驾驶汽车的研发到医疗诊断的辅助，人工智能正以惊人的速度和广度改变着世界的面貌。其影响力之深远，已经使其成为当前科技领域乃至全社会最为关注的焦点之一。

人工智能的崛起并非一蹴而就。它凝聚了数十年计算机科学、数学、统计学、神经科学、心理学以及哲学等多个学科的智慧结晶。特别是近年来，随着大数据、云计算、高性能计算硬件的飞速发展，以及机器学习，尤其是深度学习理论和算法的突破，人工智能的研究和应用进入了一个前所未有的黄金时代。新技术如生成式 AI、强化学习等层出不穷，不断拓展着机器智能的边界，并展现出前所未有的能力，例如创作艺术作品、撰写文本、甚至在复杂博弈中击败人类顶尖选手。

然而，伴随着人工智能的蓬勃发展，一系列前所未有的机遇与挑战也随之而来。人工智能不仅预示着生产力的大幅提升和生活质量的改善，也引发了关于就业结构变迁、数据隐私、算法偏见、伦理道德以及人工智能安全等方面的深刻讨论。如何平衡技术创新与社会责任，确保人工智能的发展能够真正造福人类社会，而非加剧现有问题，已成为全球各国政府、企业、学术界乃至普通民众共同面临的重大课题。

本论文旨在全面审视人工智能的发展历程、核心技术、在各领域的应用现状以及未来趋势。我们将深入分析人工智能所带来的机遇与挑战，并探讨在推动技术进步的同时，如何构建一个负责任、可持续且普惠的人工智能生态系统。期望通过本文的研究，能够为读者提供一个对人工智能当前全貌及其未来走向的深刻理解，并为相关政策制定和技术研发提供有益的参考。

目录

第一章 人工智能的基础与历史演进	1
1.1 引言	1
1.2 核心概念与定义	1
1.2.1 人工智能的定义	1
1.2.2 强人工智能与弱人工智能	2
1.2.3 机器学习与深度学习概述	3
1.3 哲学思辨与早期探索	6
1.3.1 图灵测试与机器智能的界定	6
1.3.2 达特茅斯会议与人工智能的诞生	7
1.3.3 早期 AI 研究范式	7
1.4 AI 的发展阶段与“寒冬”	8
1.4.1 第一次 AI 寒冬（约 1974-1980 年）	8
1.4.2 第二次 AI 寒冬（约 1987-1993 年）	8
1.4.3 AI 的复兴与深度学习的爆发	9
1.5 总结	9
第二章 现代人工智能的关键技术与突破	11
2.1 引言	11
2.2 机器学习范式	11
2.2.1 监督学习	11
2.2.2 无监督学习	15
2.2.3 强化学习	15
2.3 深度学习的崛起与应用	16
2.3.1 卷积神经网络（CNN）与计算机视觉	17
2.3.2 循环神经网络（RNN）与长短期记忆网络（LSTM）	17
2.3.3 Transformer 架构与自注意力机制	20
2.4 生成式人工智能（Generative AI）	25
2.5 大型语言模型（LLMs）的兴起	32

2.6 其他新兴技术	33
2.7 总结	35
第三章 人工智能的应用、挑战与未来展望	36
3.1 AI 的广泛应用	36
3.1.1 产业应用	37
3.1.2 社会生活	55
3.2 伦理、社会与法律挑战	55
3.2.1 数据隐私与安全	55
3.2.2 算法偏见与公平性	56
3.2.3 就业市场冲击	56
3.2.4 伦理道德与责任	56
3.2.5 人工智能安全	56
3.3 AI 治理与政策	56
3.3.1 全球各国探索与实践	56
3.3.2 国际合作与全球治理的重要性	57
3.4 未来趋势与展望	57
3.4.1 通用人工智能（AGI）的潜在路径与挑战	57
3.4.2 人机协作的深化与人机共生社会	61
3.4.3 人工智能在可持续发展目标中的作用	61
3.4.4 对人类社会未来发展的深远影响与启示	62
参考文献	64

第一章 人工智能的基础与历史演进

1.1 引言

人工智能（Artificial Intelligence, AI）作为一门旨在研究、开发和应用能够模拟、延伸乃至超越人类智能的理论、方法、技术及应用系统的交叉学科，已成为引领新一轮科技革命和产业变革的核心驱动力。其研究领域不仅涵盖了从问题解决、知识推理到感知、学习和语言理解等传统智能行为的模拟，更拓展至自主决策、模式识别和创造性任务等前沿领域。本章旨在系统性地追溯人工智能的哲学起源与理论基础，阐述其核心概念体系，并深度剖析其在半个多世纪发展历程中的关键转折点、重大范式转移以及周期性的“寒冬”与复兴。通过对历史脉络的梳理，本章将为读者全面理解现代人工智能，特别是以深度学习为代表的技术浪潮，奠定坚实的理论与认知基础。

1.2 核心概念与定义

1.2.1 人工智能的定义

人工智能的定义随着时代和技术发展而不断演变，至今未有完全统一的定论。一个广为接受的定义来自于 Russell 和 Norvig 的权威著作《人工智能：一种现代方法》，该书从思想和行为两个维度，以及与人类和理性的对比，将 AI 的定义分为了四个流派：

- **像人一样思考（Thinking Humanly）**: 这一流派致力于通过认知建模来模拟人类的思维过程。其核心是探究人类心智的内在机制，并用计算机程序来复现。
- **像人一样行动（Acting Humanly）**: 该流派关注系统外部行为的表现，以著名的“图灵测试”为代表，即如果机器的行为表现与人类无法区分，则可认为其具备智能。
- **理性地思考（Thinking Rationally）**: 该流派追求构建基于逻辑法则的推理系统。它根植于数理逻辑，旨在通过形式化推理得出正确结论，其代表是“逻辑主义”方法。

- **理性地行动 (Acting Rationally)**: 该流派关注于构建能够实现最优结果的“智能体”(Agent)。一个理性的智能体应在给定信息和环境下，采取能最大化其期望效用的行动。

一个理性的智能体在选择行动时，会遵循期望效用最大化原则。若智能体当前处于状态 s ，可选择的行动集合为 A ，采取行动 $a \in A$ 后可能转移到新状态 s' 的概率为 $P(s'|s, a)$ ，且新状态的效用为 $U(s')$ ，则最优行动 a^* 的选择可以表示为：

$$a^* = \arg \max_{a \in A} \sum_{s'} P(s'|s, a)U(s')$$

这个公式定义了理性智能体如何在不确定的结果中做出最优决策。

在当前的工程实践和学术研究中，**理性地行动**已成为主流范式。它不仅包含了逻辑推理，也容纳了在不确定性下做出最优决策的能力，更具普适性和可度量性。

1.2.2 强人工智能与弱人工智能

在人工智能理论中，根据其智能水平和通用性，通常将 AI 分为强人工智能和弱人工智能：

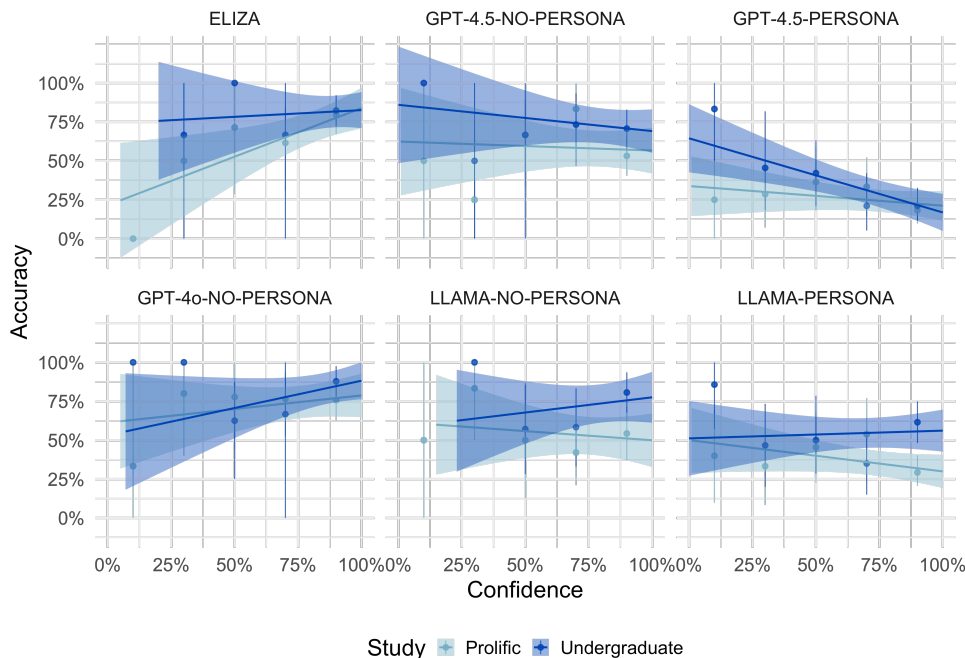


图 1.1: 强人工智能与弱人工智能的区别示意图

- **弱人工智能 (Weak AI / Narrow AI)**: 指的是专注于执行单一或有限领域特定任务的 AI 系统。例如，AlphaGo 虽然在围棋上超越了人类顶尖棋手，但它无法执

行如驾驶汽车或诊断疾病等其他任务。当前我们所看到并广泛应用的 AI 技术，如语音助手、推荐系统和人脸识别，绝大多数都属于弱人工智能范畴。

- **强人工智能（Strong AI / Artificial General Intelligence, AGI）：**指的是拥有与人类智能相当甚至超越人类智能的通用 AI 系统。理论上，一个 AGI 系统能够理解、学习并执行任何人类能够完成的智力任务，并具备自我意识、情感和抽象思维能力。强人工智能是 AI 研究的终极目标之一，但目前在理论和技术上仍面临巨大挑战，处于理论探索阶段。

1.2.3 机器学习与深度学习概述

机器学习（Machine Learning, ML）^[3]是实现人工智能的核心途径，其本质是让计算机通过分析数据来自动学习和改进，而非依赖于人类编写的显式规则。其核心思想是构建一个数学模型，该模型能够从训练数据中学习到潜在的模式或规律，并利用这些规律对新的、未知的数据进行预测或决策。根据学习方式的不同，机器学习主要分为以下几类：

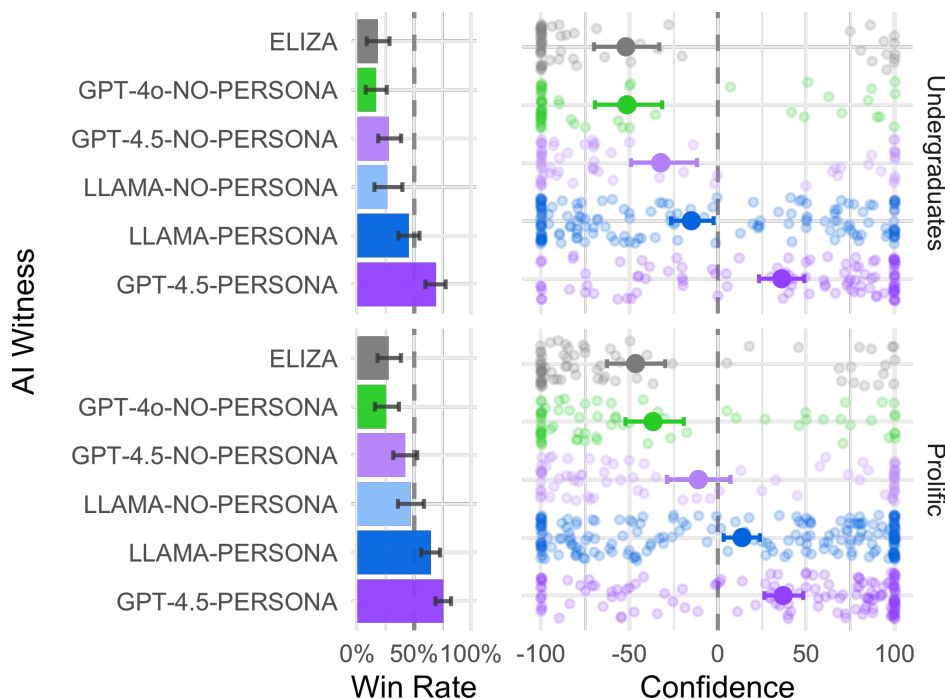


图 1.2: 机器学习的主要类型示意图

- **监督学习（Supervised Learning）：**^[4] 模型从带有“正确答案”（即标签）的数据中学习。例如，在图像分类任务中，模型学习大量已标记为“猫”或“狗”的图片，最终学会识别新的图片。在数学上，给定一个包含 N 个样本的训练数据集 $D = \{(x_1, y_1), (x_2, y_2), \dots, (x_N, y_N)\}$ ，其中 x_i 是输入特征， y_i 是对应的标签。监督

学习的目标是学习一个从输入到输出的映射函数 h_θ , 该函数由参数 θ 决定, 旨在最小化一个损失函数 L , 即:

$$\theta^* = \arg \min_{\theta} \frac{1}{N} \sum_{i=1}^N L(h_\theta(x_i), y_i)$$

其中 L 用来度量预测值 $h_\theta(x_i)$ 和真实值 y_i 之间的差异。

- **无监督学习 (Unsupervised Learning):**^[5] 模型处理没有标签的数据, 并尝试发现数据内部的结构或模式。例如, 在市场分析中, 无监督学习可用于自动将客户划分为不同的群体。
- **强化学习 (Reinforcement Learning):**^[6] 模型通过与环境的交互来学习。智能体 (Agent) 在环境中采取行动, 并根据行动结果获得奖励或惩罚, 其目标是学习一个能最大化长期累积奖励的策略。AlphaGo 的成功就是强化学习的经典案例。在强化学习中, 智能体的目标是学习一个策略 (policy) π , 该策略指导智能体在每个状态 s_t 选择能最大化未来累积奖励的行动 a_t 。在时间步 t 的未来折扣累积奖励 (或称为“回报” G_t) 定义为:

$$G_t = R_{t+1} + \gamma R_{t+2} + \gamma^2 R_{t+3} + \dots = \sum_{k=0}^{\infty} \gamma^k R_{t+k+1}$$

其中 R_{t+k+1} 是在未来第 k 步获得的奖励, $\gamma \in [0, 1]$ 是折扣因子, 用于平衡即时奖励和未来奖励的重要性。智能体的最终目标是找到最优策略 π^* , 以最大化该回报的期望值。

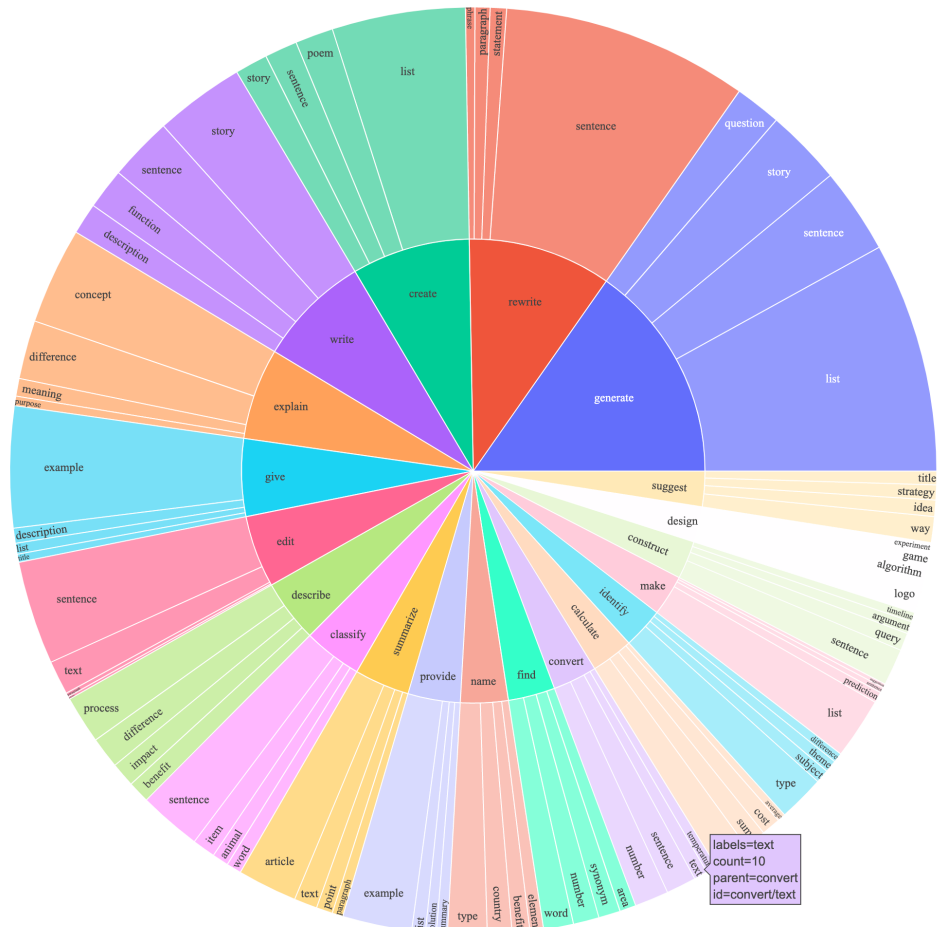


图 1.3: 机器学习的主要类型示意图

深度学习（Deep Learning, DL）^[7]是机器学习的一个强大分支，其核心是使用深度人工神经网络（Deep Neural Networks, DNNs）。“深度”通常指神经网络包含多个隐藏层。这种多层结构赋予了模型强大的特征学习能力：网络中的每一层可以对前一层输出的特征进行组合，从而学习到从低级到高级的、层层递进的特征表示（Feature Hierarchy）。例如，在图像识别中，第一层可能学习到边缘和颜色等基本特征，中间层可能学习到眼睛、鼻子等组合特征，而更高层则能识别出整张人脸。正是这种自动学习复杂特征的能力，使深度学习在图像识别、语音识别和自然语言处理等领域取得了前所未有的突破性进展，成为推动当前 AI 发展的核心引擎。一个包含 L 层的深度神经网络可以被看作是一个复合函数。对于输入 X ，其最终输出 Y_{pred} 的计算过程可以表示为：

$$Y_{pred} = f(X) = f_L(\dots f_2(f_1(X; \theta_1)); \dots; \theta_L)$$

其中， f_l 代表第 l 层的运算，通常由一个线性变换和一个非线性激活函数 σ 组成，即 $f_l(z; \theta_l) = \sigma(W_l z + b_l)$ ， $\theta_l = \{W_l, b_l\}$ 是该层的权重和偏置参数。这种层级结构使得网络能够自动学习从简单到复杂的数据特征。

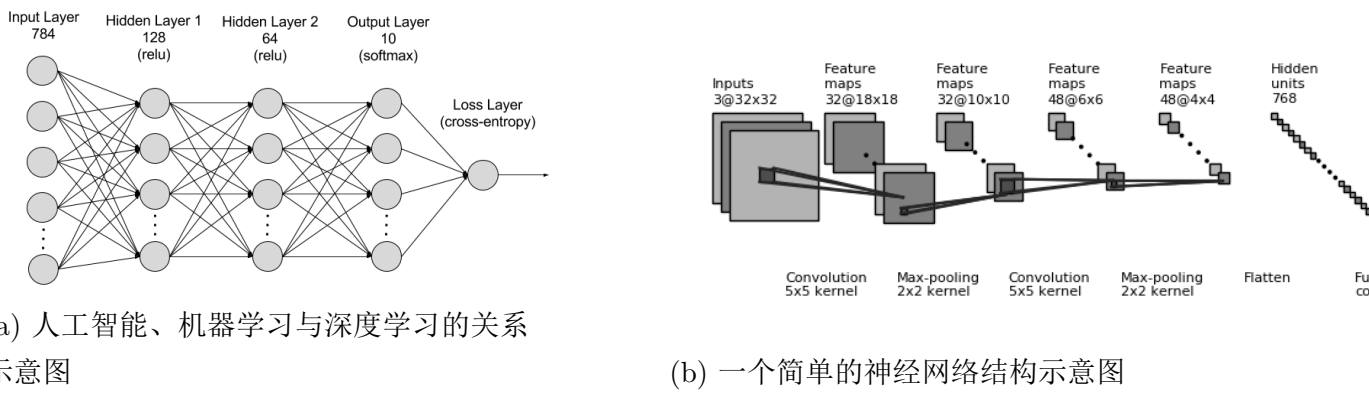
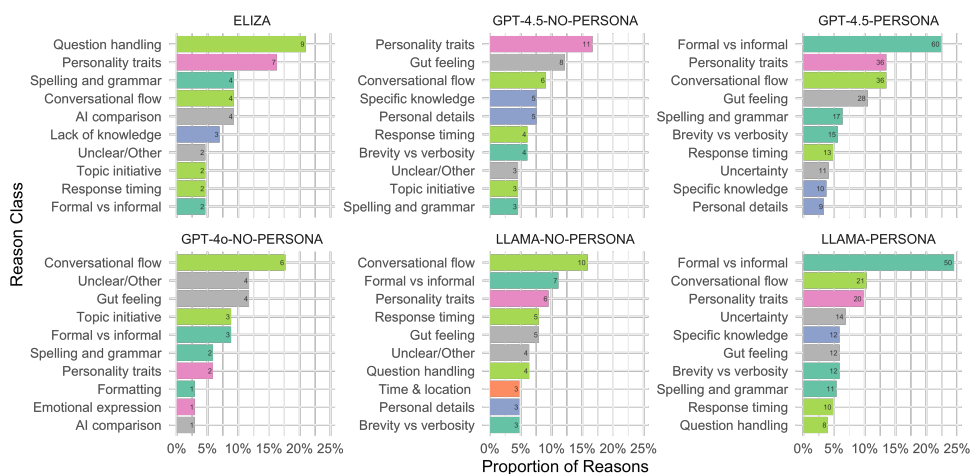


图 1.4: 人工智能、机器学习与深度学习的层级关系及神经网络结构

1.3 哲学思辨与早期探索

1.3.1 图灵测试与机器智能的界定

1950 年，英国数学家、计算机科学的先驱阿兰·图灵（Alan Turing）在其划时代的论文《计算机器与智能》中，回避了“机器能否思考？”这一抽象的哲学问题，转而提出了一个可操作的“模仿游戏”，即后来的图灵测试（Turing Test）。该测试旨在通过一个行为主义的视角来检验机器是否能够展现出与人类无法区分的智能行为。在测试中，一位人类评审员通过纯文本界面同时与一位人类和一台机器进行交流。如果在持续的对话后，评审员无法可靠地分辨出哪个对话方是机器，那么这台机器就被认为通过了图灵测试。图灵测试为机器智能的评估提供了一个清晰、客观的操作性定义，虽然后续引发了诸多哲学上的争论（如“中文房间”思想实验），但其对早期人工智能研究的范式塑造和目标设定产生了深远影响。



1.3.2 达特茅斯会议与人工智能的诞生

1956年夏季，约翰·麦卡锡（John McCarthy）、马文·明斯基（Marvin Minsky）、克劳德·香农（Claude Shannon）和纳撒尼尔·罗切斯特（Nathaniel Rochester）等十位年轻学者在美国达特茅斯学院组织了一场为期两个月的学术研讨会。这次会议被普遍认为是“人工智能”这一学科正式诞生的标志。在为会议撰写的申请书中，麦卡锡首次创造了“Artificial Intelligence”一词。会议的目标宏大，旨在探索“学习的各个方面或智能的任何其他特征原则上都可以被精确描述，从而可以用机器来模拟它”。这次会议不仅确立了AI作为一个独立研究领域，还提出了许多至今仍被视为核心的基本问题，如自动推理、知识表示、自然语言处理和神经网络等，为未来数十年的研究议程奠定了基础。



图 1.6: 达特茅斯会议的主要参与者

1.3.3 早期 AI 研究范式

达特茅斯会议之后，人工智能研究逐渐分化为两条主要的技术路线和哲学思想，即符号主义和连接主义。

- **符号主义（Symbolism）**:^[8] 也称逻辑主义或“整洁派”（Neats），其核心信念是：智能源于对符号的操作和逻辑推理。该范式认为，人类的认知过程本质上是一种符号处理过程，因此可以通过构建基于形式化逻辑和规则的系统来复现智能。这一思想主导了AI研究的前三十年，其代表性成果是专家系统（Expert Systems），例如在医学诊断（如MYCIN）和地质勘探等领域取得了显著的商业成功。然而，

符号主义的“知识瓶颈”问题——即如何获取和编码海量、复杂的现实世界知识——最终限制了其发展。

- **连接主义（Connectionism）**:^[9] 也称“邋遢派”（Scruffies），其灵感直接来源于生物大脑的神经网络结构。该范式认为，智能是从大量简单的、相互连接的处理单元（即人工神经元）的集体行为中“涌现”出来的，而非源于预设的符号规则。早期的感知机（Perceptron）是神经网络的基本组成单元，它接收多个输入信号 x_i ，并通过一组权重 w_i 进行加权求和，再加上一个偏置 b 。其输出 y 由一个阶跃函数（step function）决定：

$$y = f\left(\sum_{i=1}^n w_i x_i + b\right) \quad \text{其中} \quad f(z) = \begin{cases} 1 & \text{if } z > 0 \\ 0 & \text{otherwise} \end{cases}$$

感知机模型为更复杂的神经网络奠定了基础。模型是连接主义的代表，但由于理论和计算能力的限制（特别是无法解决“异或”问题），连接主义在 20 世纪 70 年代后陷入了低谷，直到 80 年代中期反向传播算法的重新发现才得以复兴。

这两种范式在知识表示上存在根本差异：符号主义依赖于显式的、人类可理解的知识表达；而连接主义则通过网络连接的权重来隐式地学习和存储知识。

1.4 AI 的发展阶段与“寒冬”

1.4.1 第一次 AI 寒冬（约 1974-1980 年）

20 世纪 70 年代中期，早期 AI 研究的乐观主义情绪遭遇了现实的严峻挑战。一方面，研究者在机器翻译等复杂任务上做出的过度承诺未能兑现；另一方面，面对组合爆炸问题，当时的计算能力和算法理论均显不足。标志性事件包括 1966 年美国自动语言处理咨询委员会（ALPAC）报告对机器翻译项目的悲观评估，以及 1973 年英国 Lighthill 报告对整个 AI 领域的严厉批评。这些事件直接导致了政府研究资助的大幅削减（尤其是美国的 DARPA），研究者和资助机构的信心受到重创，AI 领域进入了第一个被称为“寒冬”的低潮期。

1.4.2 第二次 AI 寒冬（约 1987-1993 年）

在 80 年代，随着基于规则的专家系统（Expert Systems）^[10]的商业成功，AI 迎来了第一次短暂的复苏。然而，这些系统的局限性也逐渐暴露：它们的知识库构建和维护成本极其高昂、难以扩展、缺乏常识且无法处理不确定性。当企业发现维护这些专用系统的费用远超其带来的效益时，商业泡沫随之破裂。同时，个人电脑的兴起使得专门用于运

行 AI 程序（如 LISP 语言）的昂贵硬件设备市场崩溃。这些因素共同导致了 AI 领域的第二次资金紧缩和信心危机，即第二次“AI 寒冬”。

1.4.3 AI 的复兴与深度学习的爆发

进入 21 世纪，特别是 2010 年以后，人工智能迎来了前所未有的复兴和爆发式增长。这并非偶然，而是由以下几个关键因素在“量变到质变”的临界点上协同作用的结果：

- **海量数据 (Big Data)**：互联网、移动设备和物联网的普及产生了前所未有的海量数据。像 ImageNet 这样包含超过 1400 万张手工标注图片的大规模数据集，为深度神经网络的训练提供了充足且高质量的“养料”，使其能够学习到过去无法企及的复杂模式。
- **硬件算力 (Computing Power)**：摩尔定律的持续生效，特别是图形处理器 (GPU) 在通用计算领域的应用 (GPGPU)，为 AI 研究带来了革命性的变化。GPU 高度并行的体系结构天然契合深度学习中的大规模矩阵和张量运算，使得过去需要数周甚至数月的训练时间缩短到几天或几小时，极大地加速了算法的迭代和优化。
- **核心算法 (Algorithm Innovation)**:^[11] 深度学习算法本身也取得了关键性突破。2006 年，Hinton 等人提出的深度信念网络 (DBN) 和无监督预训练方法，有效解决了深度网络训练中的梯度消失问题。随后，诸如修正线性单元 (ReLU) 激活函数、Dropout 正则化技术和批量归一化 (Batch Normalization) 等一系列创新，进一步简化和稳定了深度网络的训练过程。2012 年，AlexNet 模型在 ImageNet 图像识别挑战赛中以远超第二名的巨大优势夺冠，其成功标志着深度学习时代的正式开启。

这些因素形成了一个正向反馈循环：更强的算力支持更复杂的模型，更复杂的模型能从更大的数据集中学习，从而取得更好的效果，进而吸引更多的投入和研究，推动人工智能从实验室走向了广泛的工业和商业应用。

1.5 总结

本章系统性地回顾了人工智能从其哲学思辨的萌芽，到 1956 年达特茅斯会议上的正式诞生，历经两次因期望过高与现实局限而导致的“寒冬”，再到由数据、算力和算法共同驱动的深度学习复兴的完整历程。我们探讨了 AI 的四种核心定义范式，明确了强弱 AI 的本质区别，并阐明了机器学习与深度学习作为当前 AI 主流范式的层级关系与核心思想。早期符号主义与连接主义的对立与融合，为我们理解 AI 的不同技术路径提供了历史视角。

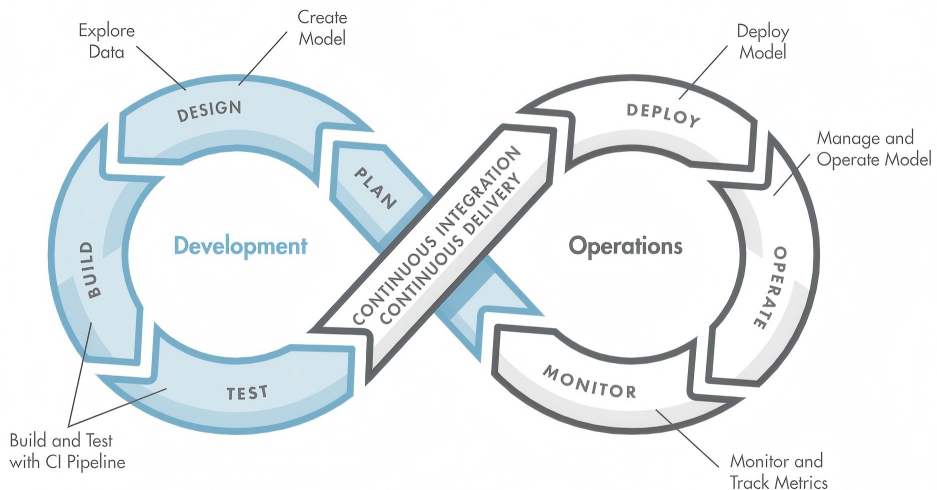


图 1.7: 人工智能发展历程的关键节点与范式演进

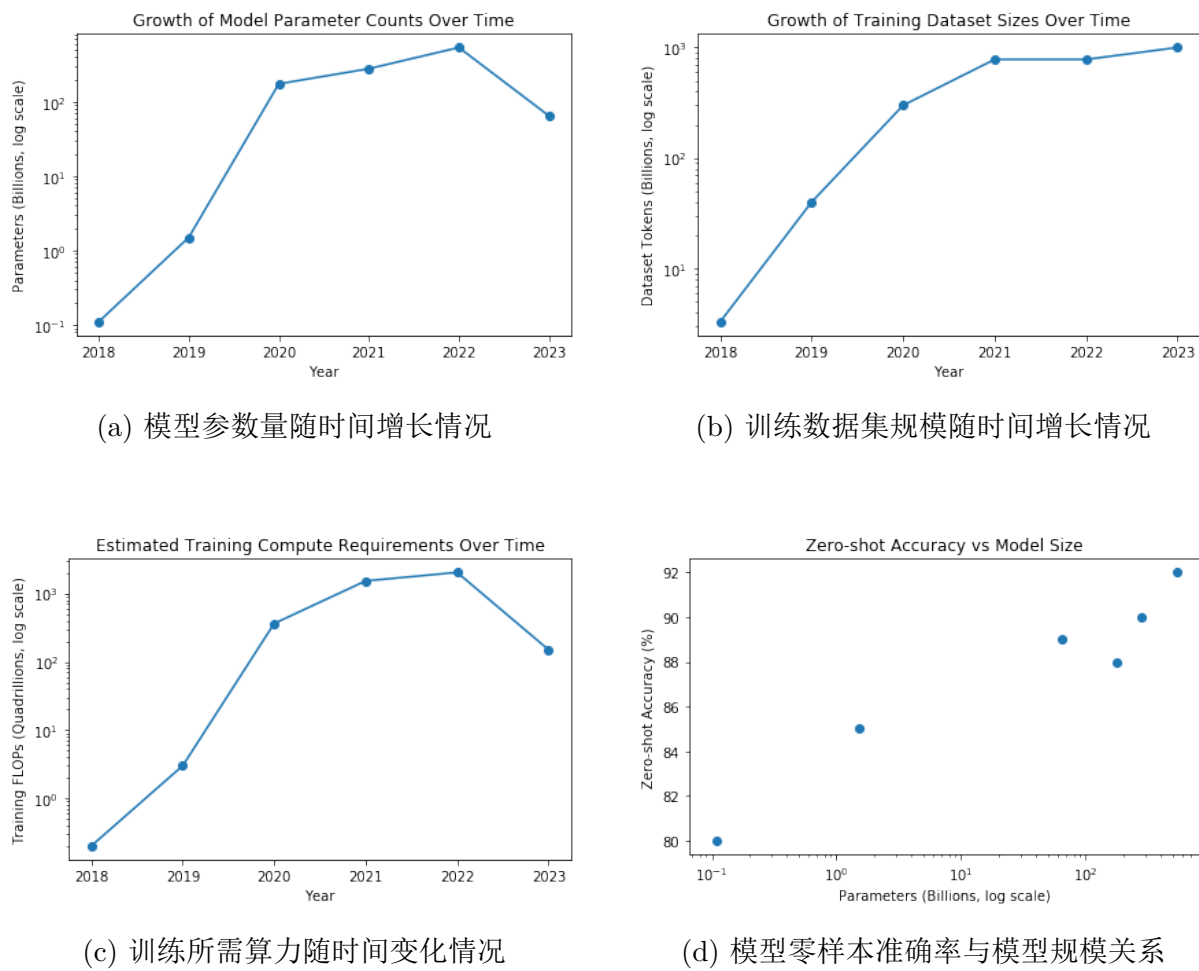


图 1.8: 驱动现代大型语言模型发展的关键要素量化趋势

第二章 现代人工智能的关键技术与突破

2.1 引言

进入 21 世纪，人工智能领域迎来了前所未有的发展浪潮，其核心驱动力源于一系列关键技术的革命性突破。本章将聚焦于这些塑造了现代人工智能面貌的核心技术，从机器学习的经典范式，到深度学习的崛起，再到生成式 AI 和大语言模型的兴盛。我们将深入探讨这些技术的内在原理、典型算法、重大应用及其带来的深刻影响，旨在为读者构建一个关于现代 AI 技术全景的清晰认知框架。

2.2 机器学习范式

机器学习作为实现人工智能的核心方法论，在现代 AI 技术体系中占据着基石地位^[12]。它使计算机能够从数据中自动学习规律和模式，而非依赖于显式编程。根据学习任务和数据类型的不同，机器学习主要可以分为监督学习、无监督学习和强化学习三大范式。

2.2.1 监督学习

监督学习是目前应用最广泛的机器学习范式，其核心思想是从带有明确标签的训练数据中学习一个映射函数，从而对新的、未知的数据进行预测^[13]。

- **分类 (Classification):** 分类任务的目标是预测数据样本所属的离散类别。例如，在垃圾邮件检测中，模型需要判断一封邮件是“垃圾邮件”还是“非垃圾邮件”。其核心是学习一个决策边界，将不同类别的数据点在特征空间中分离开。典型的分类算法包括：
 - **支持向量机 (Support Vector Machine, SVM):** SVM 的核心思想是在特征空间中寻找一个能最大化不同类别样本之间间隔 (Margin) 的超平面作为决策边界。对于线性不可分的数据，SVM 通过“核技巧”(Kernel Trick) 将数据映射到更高维的空间，使其线性可分。

- **决策树 (Decision Tree)**: 决策树通过一系列基于特征的“是/否”问题来对数据进行划分，最终形成一个树状的决策结构。每个内部节点代表一个特征测试，每个分支代表一个测试结果，而每个叶节点 x 则代表一个类别标签。

为了在实验中定量评估分类模型的性能，我们通常使用混淆矩阵（Confusion Matrix）衍生的几个核心指标，而不仅仅是简单的准确率（Accuracy）。特别是在处理数据不平衡的分类问题时，以下指标尤为重要：

- **精确率 (Precision)**: 衡量所有被模型预测为正类的样本中，有多少是真正的正类。高精确率表示模型预测的正类比较“准”。

$$\text{Precision} = \frac{TP}{TP + FP}$$

- **召回率 (Recall)**: 衡量所有真实的正类样本中，有多少被模型成功地预测为正类。高召回率表示模型能把正类“找得全”。

$$\text{Recall} = \frac{TP}{TP + FN}$$

- **F1 分数 (F1-Score)**: 精确率和召回率的调和平均数，是两者的综合考量。

$$F_1 = 2 \cdot \frac{\text{Precision} \cdot \text{Recall}}{\text{Precision} + \text{Recall}}$$

其中，TP (True Positives) 是真正例，FP (False Positives) 是假正例，FN (False Negatives) 是假反例。在实验结论中，通过分析这些指标，可以更全面地了解模型在不同方面的表现。

案例研究：手写数字识别分类

手写数字识别（如 MNIST 数据集）是分类任务的一个经典案例。在该任务中，模型需要将输入的 28x28 像素的灰度图像识别为其对应的数字（0-9）。

1. 数据探索 在训练模型之前，首先需要了解数据的基本情况。例如，通过可视化分析训练集中各个数字的分布是否均衡（如图 2.1a），以及查看单个数据样本的形态（如图 2.1b），这有助于我们判断是否需要进行数据增强或特定的预处理。

2. 模型评估与错误分析 模型训练完成后，我们需要对其性能进行深入评估。混淆矩阵（如图 2.2a）是一种强大的工具，它不仅展示了总体准确率，还清晰地揭示了模型容易将哪些类别混淆。例如，图中显示数字“4”有时会被错误地预测为“9”。进一步地，我们可以将这些被错误分类的样本单独提取出来进行可视化分析

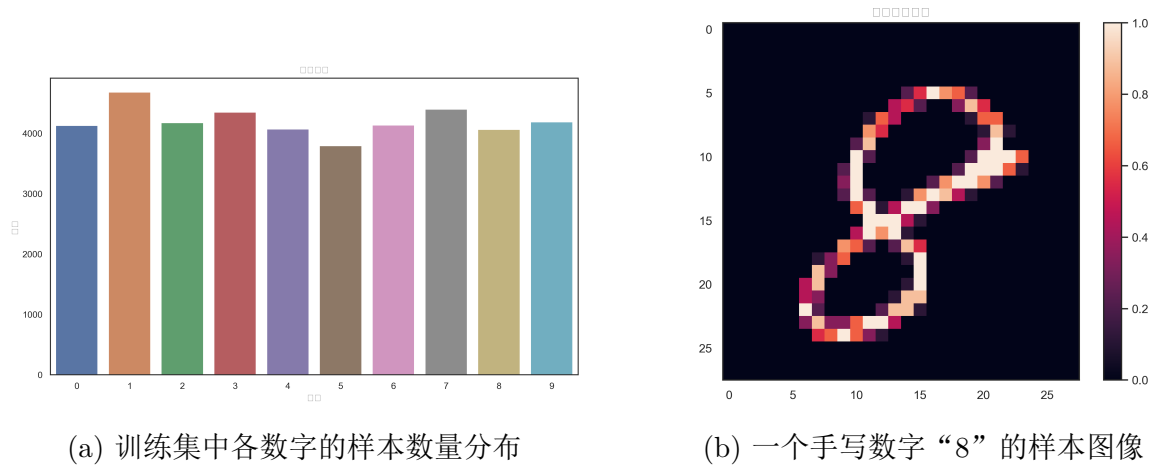


图 2.1: 手写数字数据集的数据探索可视化

(如图 2.2b)，这对于理解模型的弱点、进行针对性的优化至关重要。这些定性和定量的分析方法，与前述的精确率、召回率等公式共同构成了分类问题完整的评估体系。

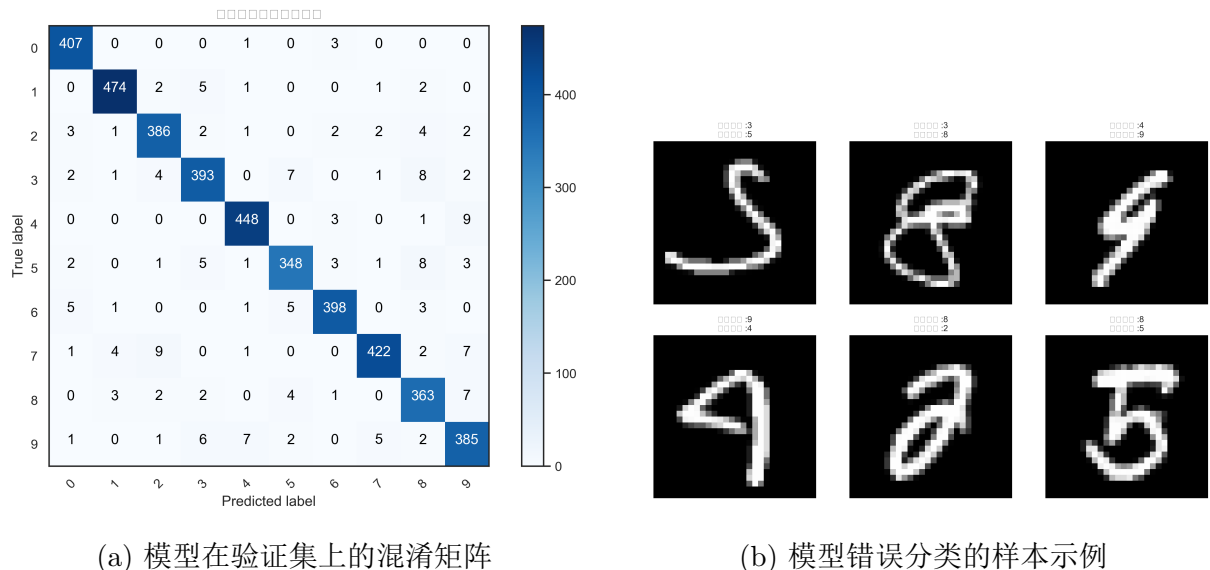


图 2.2: 分类模型的性能评估与错误分析

- **回归 (Regression):** 与分类不同，回归任务的目标是预测一个连续的数值。例如，根据房屋的面积、位置和房龄等特征来预测其售价。线性回归是最基础的回归模型，它试图找到一条直线（或超平面）来最佳地拟合数据点。在回归任务中，常用的损失函数是均方误差 (Mean Squared Error, MSE)，其定义为：

$$L_{MSE} = \frac{1}{N} \sum_{i=1}^N (y_i - \hat{y}_i)^2$$

其中 y_i 是真实值, \hat{y}_i 是模型的预测值。模型的目标是调整参数以最小化该损失函数。

案例研究：线性回归的数学原理与实现

为了更具体地说明回归过程，我们以一个简单的线性回归为例，展示其从数据探索到模型建立的关键步骤和数学原理。

1. 矩阵化模型与正规方程 在实践中，我们将多个样本的线性回归方程整合成矩阵形式。假设有 N 个样本，每个样本有 p 个特征，则模型可以表示为 $\mathbf{y} = \mathbf{X}\boldsymbol{\theta}$ 。最小化均方误差损失函数的过程，可以通过求解其对参数 $\boldsymbol{\theta}$ 的偏导数并令其为零来实现。这导出了一个可以直接计算出最优参数估计值 $\hat{\boldsymbol{\theta}}$ 的闭式解，称为正规方程 (Normal Equation)：

$$\hat{\boldsymbol{\theta}} = (\mathbf{X}^T \mathbf{X})^{-1} \mathbf{X}^T \mathbf{y}$$

这个方程是许多线性回归库求解的基础。

2. 实例数据分析与可视化 在一个具体的回归任务中，我们首先通过可视化来探索数据。图 2.3 展示了数据探索的两个关键步骤：(a) 使用相关性热力图检查特征与目标值之间的线性关系强度；(b) 通过散点图直观地观察数据的分布趋势。

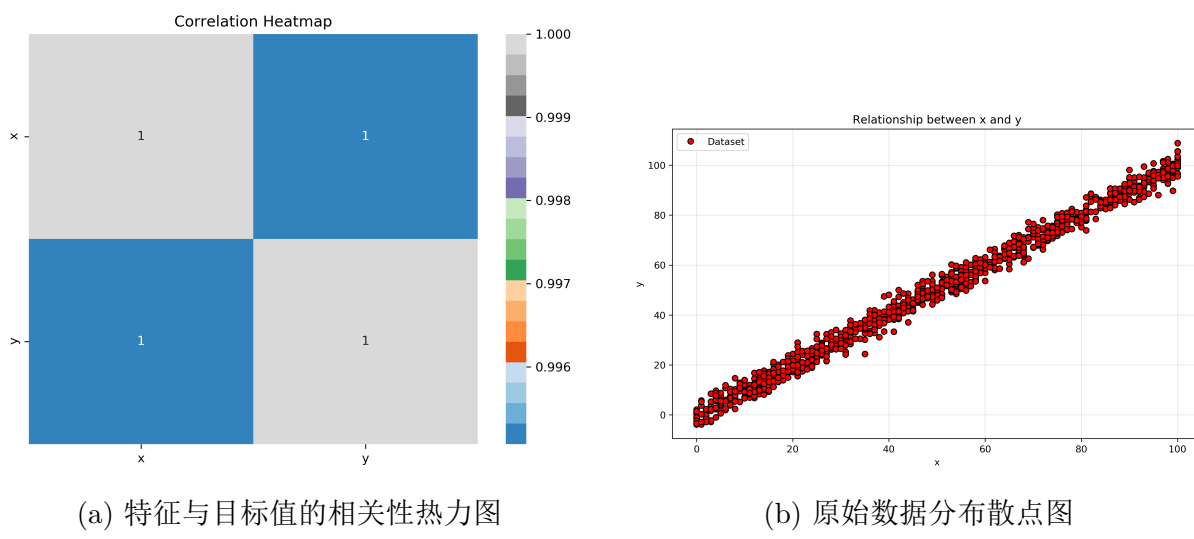


图 2.3: 线性回归案例的数据探索可视化

在确认数据适合进行线性回归后，我们应用上述正规方程求解模型参数，并对模型进行评估。图 2.4 展示了线性回归模型的概念与最终拟合效果：(a) 概念图清晰

地展示了线性回归的目标是找到一条最佳拟合直线来描述数据点的趋势；(b) 将训练好的模型应用于测试集，并将预测结果（蓝色直线）与真实的测试数据点（红色点）进行对比，以评估模型的泛化能力。

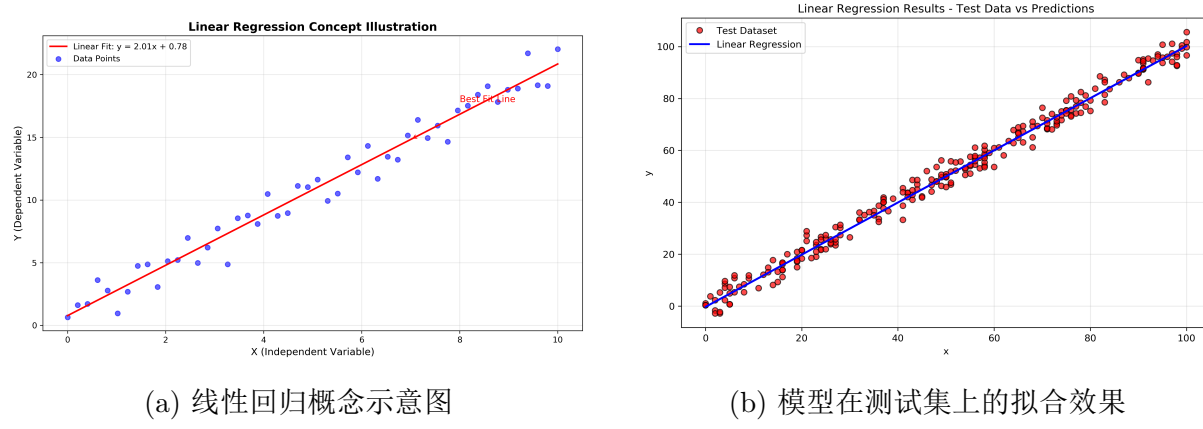


图 2.4: 线性回归模型概念与拟合结果

2.2.2 无监督学习

无监督学习处理的是没有标签的数据，其目标是发现数据本身内在的结构、模式或关系^[14]。

- **聚类 (Clustering):** 聚类是将数据集中的样本划分为若干个相似的组（或簇），使得同一簇内的样本彼此相似，而不同簇的样本则相异。K-均值 (K-Means) 算法是聚类中最经典的算法之一，它通过迭代地将样本分配给最近的簇中心，并更新簇中心的位置，来最小化簇内样本的平方误差和。
- **降维 (Dimensionality Reduction):** 降维旨在保留数据主要信息的前提下，减少数据的特征数量。这不仅可以降低计算复杂度和存储需求，还有助于可视化和去除噪声。主成分分析 (Principal Component Analysis, PCA) 是一种广泛应用的线性降维方法，它通过寻找数据方差最大的方向（即主成分）来构建一个新的、更低维的特征空间。

2.2.3 强化学习

强化学习 (RL) 的灵感来源于行为心理学，它关注智能体 (Agent) 如何在一个环境中通过与环境的交互来学习最优的行动策略，以最大化其获得的累积奖励^[15]。

- **核心原理:** 强化学习系统包含智能体、环境、状态、行动和奖励等核心要素。智能体根据当前状态选择一个行动，环境接收该行动后会转换到一个新的状态，并反

馈给智能体一个奖励信号。智能体的目标就是学习一个策略（Policy），即从状态到行动的映射，来最大化其长期累积奖励。

- 经典算法：

- **Q-learning:** Q-learning 是一种经典的基于价值的强化学习算法。它通过学习一个动作价值函数（Q-function）， $Q(s, a)$ ，来评估在状态 s 下采取行动 a 所能带来的未来回报。通过不断地与环境交互并使用贝尔曼方程（Bellman Equation）来迭代更新 Q 值，智能体最终能够学会在任何状态下选择 Q 值最大的行动。Q-learning 通过不断地与环境交互来迭代更新 Q 表格中的值。其核心的更新规则基于贝尔曼方程，具体如下：

$$Q(s_t, a_t) \leftarrow Q(s_t, a_t) + \alpha[r_{t+1} + \gamma \max_a Q(s_{t+1}, a) - Q(s_t, a_t)]$$

其中：

- * s_t 和 a_t 分别是当前时刻的状态和采取的行动。
- * α 是学习率（Learning Rate），决定了新信息在多大程度上覆盖旧信息。
- * r_{t+1} 是在状态 s 采取行动后获得的即时奖励。
- * γ 是折扣因子（Discount Factor），衡量了未来奖励的重要性。
- * s_{t+1} 是下一个状态。
- * $\max_a Q(s_{t+1}, a)$ 是对下一个状态所有可能行动的 Q 值的最大预估，代表了对未来回报的最佳期望。

智能体的训练实验是否成功，就看 Q 函数最终能否收敛，从而指导智能体在每个状态下都能做出最优决策。

- **AlphaGo:** AlphaGo 的成功是强化学习与深度学习结合的里程碑。它综合运用了监督学习（从人类棋谱中学习）和强化学习（通过自我对弈进行提升），其核心是一个深度神经网络，该网络能够同时预测下一步的最佳落子位置（策略网络）并评估当前棋局的胜率（价值网络）。
- **应用领域:** 强化学习在机器人控制、游戏 AI（如 AlphaGo 和 AlphaStar）、资源调度和推荐系统等需要进行序列决策的领域展现出巨大的潜力。

2.3 深度学习的崛起与应用

深度学习作为机器学习的一个强大分支，通过构建深度神经网络（DNNs），在许多领域取得了革命性的突破，成为当前人工智能发展的核心引擎^[16]。

2.3.1 卷积神经网络（CNN）与计算机视觉

卷积神经网络（Convolutional Neural Network, CNN）是深度学习在计算机视觉领域取得巨大成功的关键。其核心设计思想借鉴了生物视觉皮层的结构，通过引入卷积层（Convolutional Layer）和池化层（Pooling Layer）来有效地处理和学习图像数据。

- **核心机制：**

- **卷积层：**使用可学习的滤波器（或称卷积核）在输入图像上进行滑动窗口式的卷积运算，以提取诸如边缘、角点和纹理等局部特征。
- **参数共享（Parameter Sharing）：**同一个滤波器在图像的不同位置共享同一组权重，这极大地减少了模型的参数数量，并使其具备平移不变性。
- **池化层：**对卷积层输出的特征图（Feature Map）进行下采样，以降低特征图的分辨率，减少计算量，并增强模型的鲁棒性。
- **应用突破：**以 AlexNet、VGG、ResNet 等为代表的深度 CNN 模型，在 ImageNet 等大规模图像识别竞赛中取得了超越人类的性能，并被广泛应用于图像识别、目标检测、图像分割和人脸识别等核心视觉任务中。这些深度模型在训练过程中的核心是最小化一个损失函数。对于图像识别等多分类任务，最核心的损失函数是**交叉熵损失（Cross-Entropy Loss）**。它衡量了模型预测的概率分布与真实的标签分布之间的差异。对于单个样本，其损失定义为：

$$L_{CE} = - \sum_{i=1}^C y_i \log(\hat{y}_i)$$

其中， C 是类别的总数，是一个符号函数（one-hot 编码），如果该样本的真实类别是，则 $y_i = 1$ ，否则为 0。是模型预测该样本属于类别的概率。整个训练实验的目标，就是通过反向传播算法调整网络权重，使得在整个训练集上的总损失最小化。

2.3.2 循环神经网络（RNN）与长短记忆网络（LSTM）

循环神经网络（Recurrent Neural Network, RNN）专为处理序列数据（如文本、语音和时间序列数据）而设计。

- **核心思想：** RNN 通过在网络中引入循环结构，使得信息可以在时间步之间传递。当前时间步的隐藏状态不仅取决于当前的输入，还取决于前一时间步的隐藏状态，从而使网络具备了记忆能力。
- **长短记忆网络（LSTM）：**传统的 RNN 在处理长序列时，容易出现梯度消失或梯度爆炸的问题，导致其难以学习到长期的依赖关系。长短记忆网络（Long

Short-Term Memory, LSTM) 通过引入一个精巧的门控机制——包含输入门、遗忘门和输出门——来解决这一问题。这些门控单元能够有选择地让信息通过、更新或遗忘，从而有效地捕捉和利用序列中的长期依赖信息。LSTM 及其变体（如 GRU）在机器翻译、语音识别和情感分析等任务中取得了巨大成功。

案例研究：基于 LSTM 的文本分类（推文灾难识别）

为了更深入地理解 LSTM 的工作原理，我们以一个典型的自然语言处理任务——推文灾难识别为例。该任务的目标是判断一条推文（Tweet）是否描述了真实的灾难事件。

1. LSTM 核心数学表达式 LSTM 的核心在于其单元（Cell）结构，它通过三个“门”（Gate）来控制信息的流动：遗忘门、输入门和输出门。在时间步 t ，对于输入向量 x_t 和前一时间步的隐藏状态 h_{t-1} ，LSTM 单元的计算过程如下（以矩阵表示）：

- **遗忘门 (Forget Gate)** f_t : 决定从单元状态 (Cell State) C_{t-1} 中丢弃多少信息。

$$f_t = \sigma(W_f \cdot [h_{t-1}, x_t] + b_f)$$

- **输入门 (Input Gate)** i_t : 决定将哪些新信息存入单元状态。它由两部分组成：sigmoid 层决定更新哪些值，tanh 层创建一个候选值向量 \tilde{C}_t 。

$$i_t = \sigma(W_i \cdot [h_{t-1}, x_t] + b_i)$$

$$\tilde{C}_t = \tanh(W_C \cdot [h_{t-1}, x_t] + b_C)$$

- **单元状态更新 (Cell State Update)** C_t : 结合旧状态和新候选值来更新单元状态。

$$C_t = f_t \odot C_{t-1} + i_t \odot \tilde{C}_t$$

- **输出门 (Output Gate)** o_t : 决定从单元状态中输出什么信息，并生成最终的隐藏状态 h_t 。

$$o_t = \sigma(W_o \cdot [h_{t-1}, x_t] + b_o)$$

$$h_t = o_t \odot \tanh(C_t)$$

其中， W 和 b 分别是各门的权重矩阵和偏置向量， σ 是 Sigmoid 激活函数， \odot 代表逐元素乘积（Hadamard product）。这些公式共同确保了信息可以在长序列中有效地传递和更新。

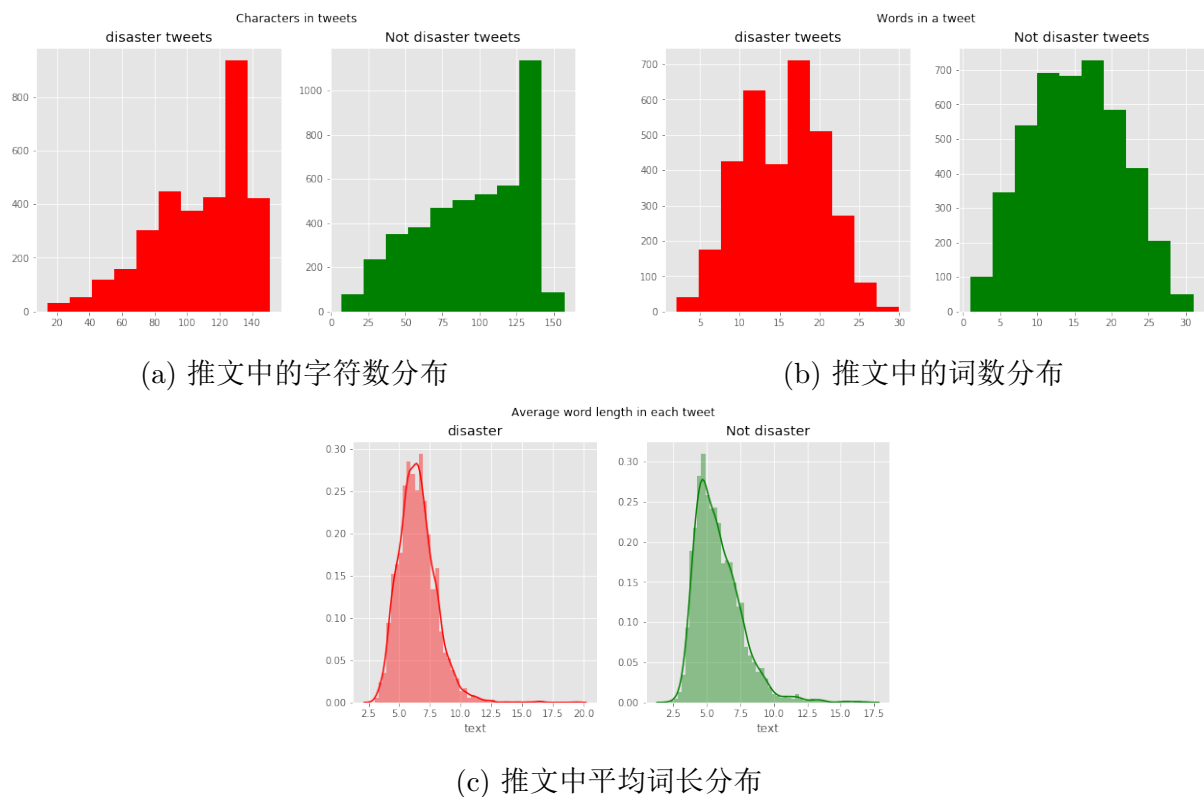
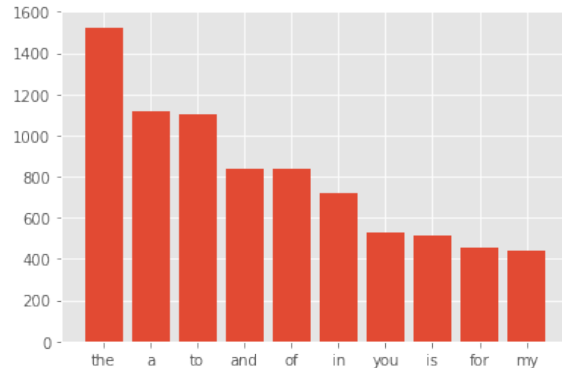


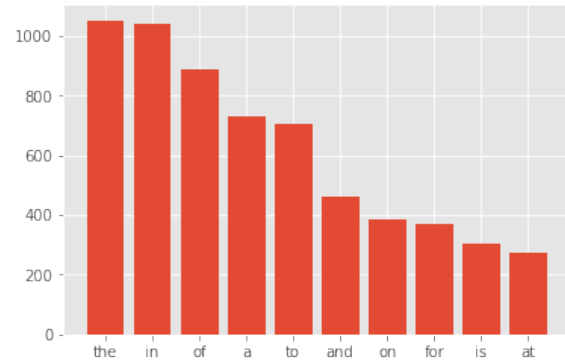
图 2.5: 灾难性与非灾难性推文的基础文本统计对比

2. 探索性数据分析（EDA） 在将文本数据送入 LSTM 模型前，进行探索性数据分析（EDA）至关重要。这有助于理解语料库的特征，例如文本长度、词汇构成和标点符号的使用。图 2.5 展示了灾难性与非灾难性推文在字符数、词数和平均词长上的分布对比。

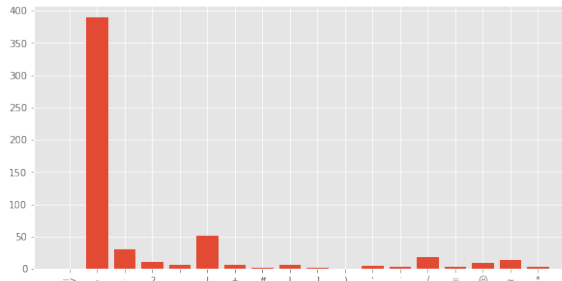
进一步地，我们分析了停用词（Stopwords）和标点符号的使用频率，如图 2.6 所示。这些分析可以指导我们进行数据清洗和预处理，例如是否需要移除停用词和标点。



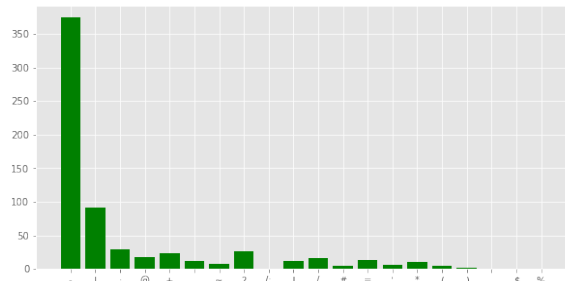
(a) 非灾难性推文中的停用词



(b) 灾难性推文中的停用词



(c) 灾难性推文中的标点符号



(d) 非灾难性推文中的标点符号

图 2.6: 灾难性与非灾难性推文中停用词与标点符号的对比分析

最后，通过分析最常见词汇和双词组合（Bigrams），如图 2.7，我们可以洞察两类推文在内容上的核心差异，这为特征工程和模型训练提供了重要依据。

2.3.3 Transformer 架构与自注意力机制

2017 年提出的 Transformer 架构彻底改变了自然语言处理（NLP）领域。其核心创新是完全抛弃了 RNN 的循环结构，转而完全依赖于自注意力机制（Self-Attention Mechanism）。

- 自注意力机制：**自注意力机制允许模型在处理一个序列时，直接计算序列中任意两个位置之间的依赖关系，而无需考虑它们之间的距离。对于序列中的每一个词，模

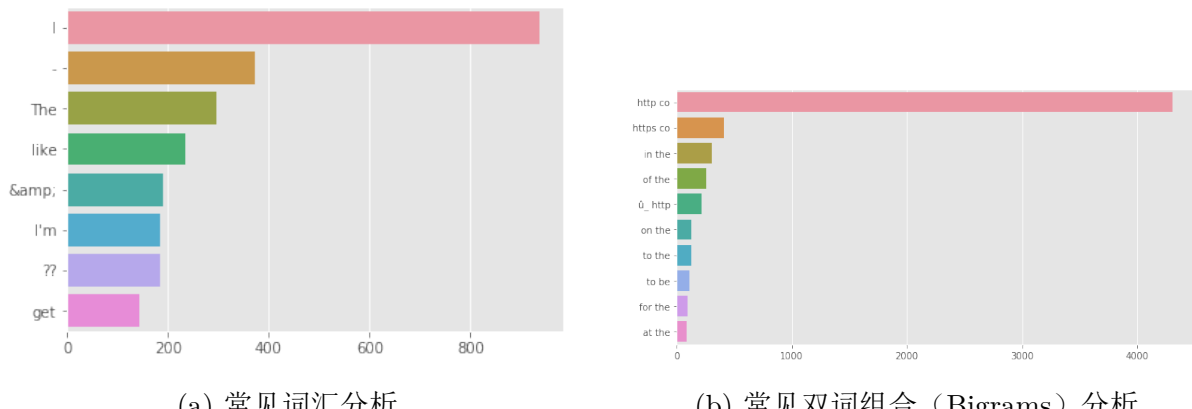


图 2.7: 推文中内容词汇的频率分析

型都会计算它与序列中所有其他词的“注意力分数”，这些分数决定了在编码当前词时，应该给予其他词多大的权重。这使得模型能够捕捉到句子内部复杂的语法和语义关系。

- **并行化优势:** 由于摆脱了 RNN 的顺序计算依赖, Transformer 可以对整个序列进行并行计算, 极大地提高了训练效率。
- **里程碑模型:** 基于 Transformer 架构, 诞生了一系列颠覆性的预训练语言模型, 如 BERT(Bidirectional Encoder Representations from Transformers) 和 GPT (Generative Pre-trained Transformer) 系列。这些模型通过在海量无标注文本上进行预训练, 学习到丰富的语言知识, 然后在各种下游 NLP 任务上进行微调, 取得了前所未有的性能表现。

案例研究：Transformer 的内部工作原理

为了更深入地剖析其内部机制, 我们以一个 Encoder-Decoder 结构的 Transformer 为例, 逐步拆解其核心组件。

1. 输入向量化与 Q、K、V 矩阵 模型的第一步是将每个输入词的词嵌入(Embedding)向量, 通过乘以三个可学习的权重矩阵 W^Q, W^K, W^V , 分别转换为查询向量(Query)、键向量(Key) 和值向量(Value)。如图 2.8 所示, 这些向量是计算自注意力的基础。

2. 缩放点积注意力 (Scaled Dot-Product Attention) 自注意力的核心计算遵循一个特定的公式, 即缩放点积注意力, 如图 2.9 所示。其数学表达式为:

$$\text{Attention}(Q, K, V) = \text{softmax} \left(\frac{QK^T}{\sqrt{d_k}} \right) V$$

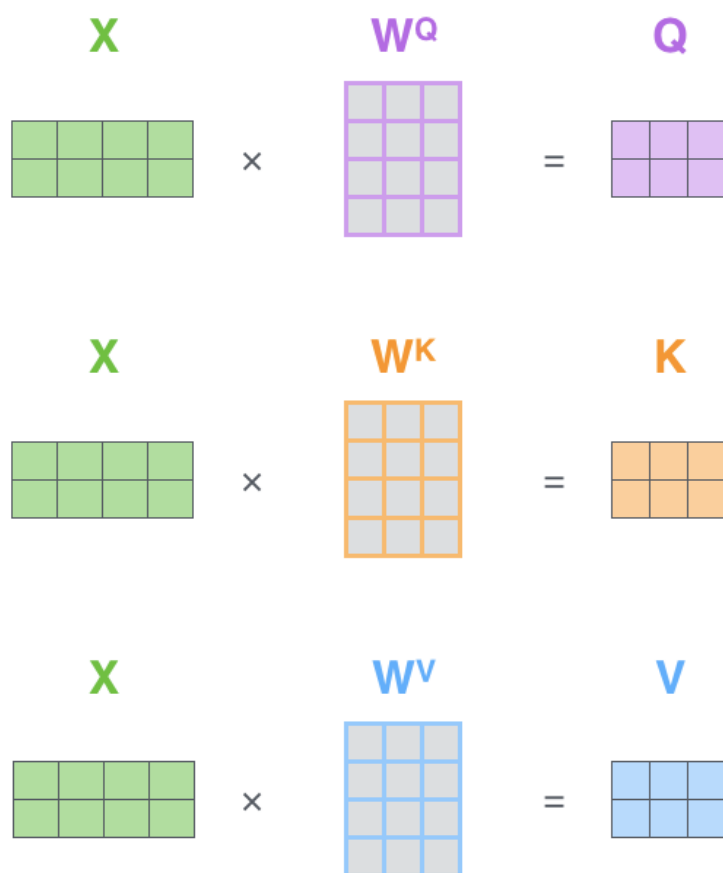


图 2.8: 从词嵌入向量 X 生成查询 (Q)、键 (K)、值 (V) 矩阵

这个公式的计算过程是：首先计算查询向量 Q 与所有键向量 K 的点积，然后除以一个缩放因子 $\sqrt{d_k}$ (d_k 是键向量的维度) 以稳定梯度，接着通过一个 Softmax 函数将结果归一化为注意力权重，最后将这些权重应用于值向量 V 进行加权求和，得到该位置的注意力输出。

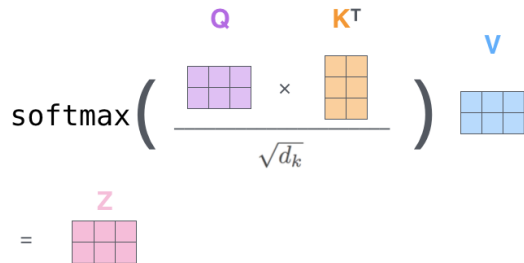


图 2.9: 缩放点积注意力的计算流程

3. 多头注意力机制（Multi-Head Attention） 为了让模型能够同时关注来自不同表示子空间的信息，Transformer 采用了多头注意力机制。如图 2.10a 和 2.10b 所示，它将 Q 、 K 、 V 矩阵在维度上分割成多个“头”（Heads），对每个头独立地执行缩放点积注意力计算，然后将所有头的输出结果拼接（Concatenate）起来，并通过一个最终的权重矩阵 W^O 进行线性变换，得到最终的输出。

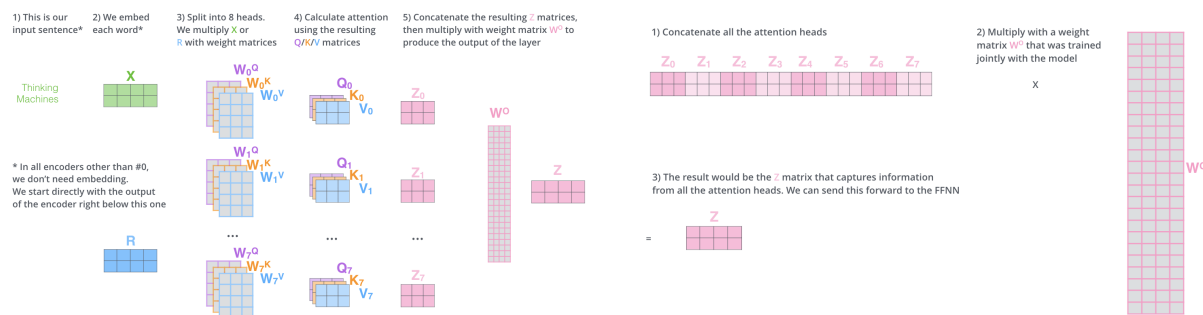


图 2.10: 多头注意力机制的分解与整合

图 2.11 直观地展示了自注意力机制的效果。在处理句子 “The animal didn't cross the street because it was too tired” 时，其中一个注意力头在编码单词 “it” 时，会将大部分的注意力分配给 “animal”，从而正确地理解了 “it”的指代对象。

4. 整体架构：编码器与解码器 Transformer 模型由编码器（Encoder）和解码器（Decoder）堆栈组成。每个编码器层（如图 2.12）包含一个多头自注意力层和一个前馈神经网络层，并通过残差连接（Residual Connection）和层归一化（Layer Normalization）

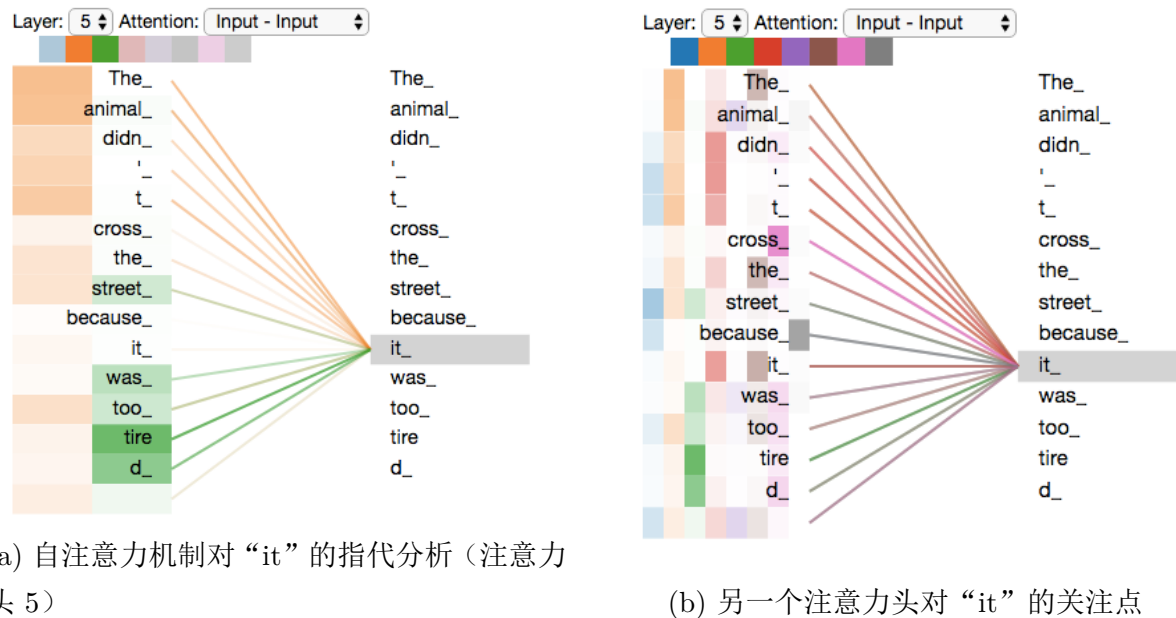


图 2.11: 自注意力机制的可视化实例对比

进行优化。解码器层则在编码器层的基础上，增加了一个用于处理编码器输出的“编码器-解码器注意力”层。整个架构如图 2.13a 所示，最终通过一个线性和 Softmax 层输出预测结果的概率分布（如图 2.13b）。

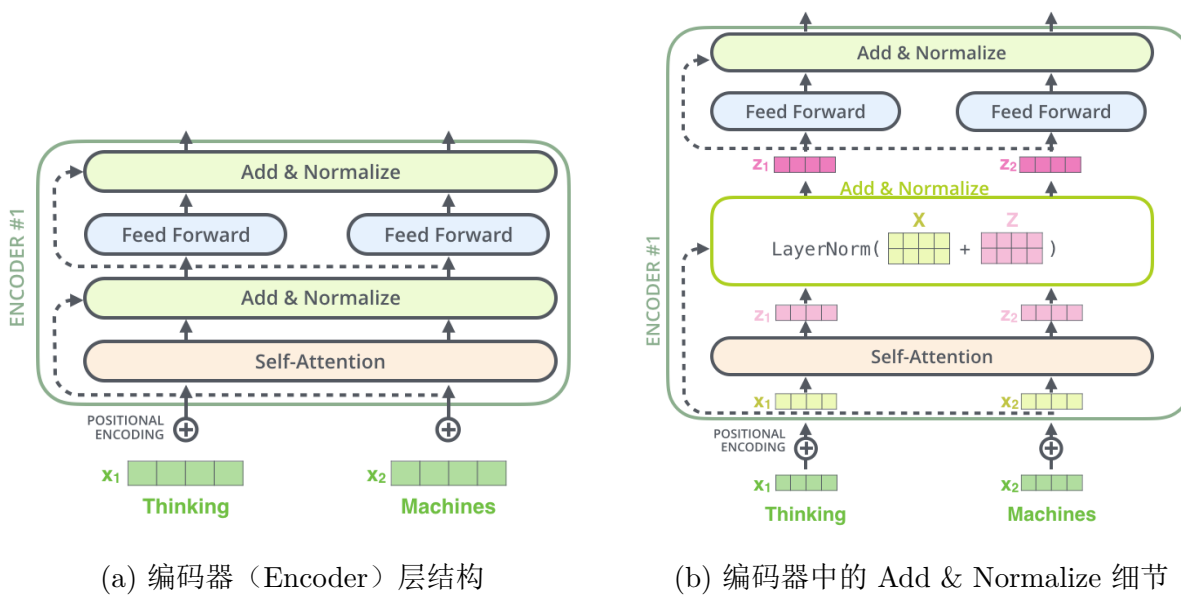


图 2.12: Transformer 编码器模块结构

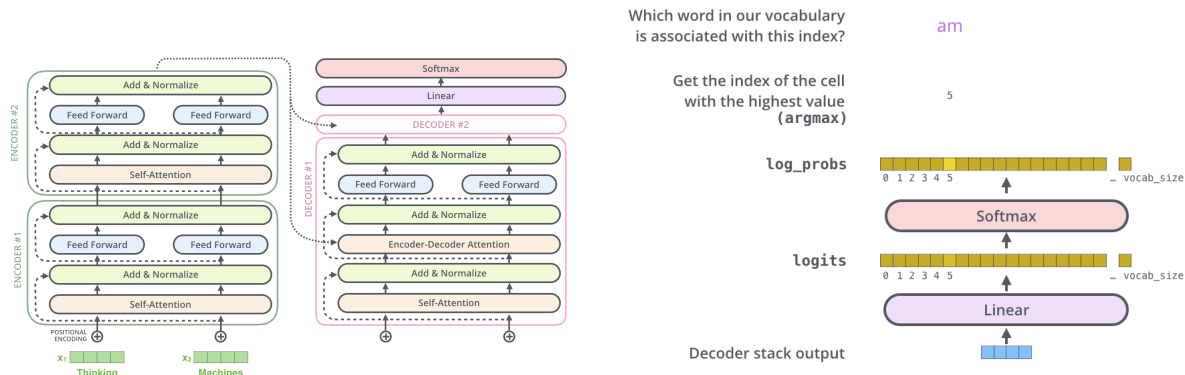


图 2.13: Transformer 整体架构与输出层

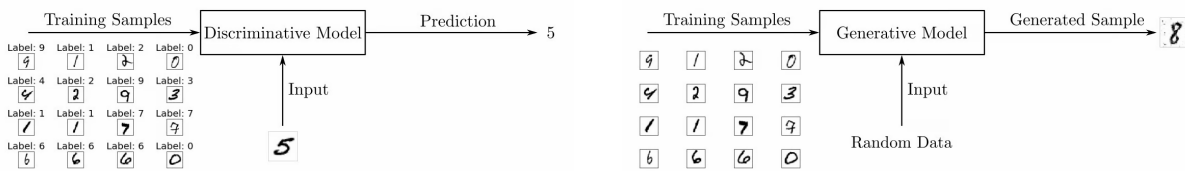
2.4 生成式人工智能 (Generative AI)

生成式人工智能旨在创造新的、原创性的内容,如图像、文本、音乐和代码,而非仅仅进行分类或预测。

- **生成对抗网络 (GANs):** 生成对抗网络 (Generative Adversarial Networks, GANs) 由一个生成器 (Generator) 和一个判别器 (Discriminator) 组成。生成器的任务是生成以假乱真的数据 (如图片), 而判别器的任务是尽可能准确地分辨出哪些数据是真实的, 哪些是生成器伪造的。两者通过一种“对抗游戏”的方式进行训练: 生成器努力欺骗判别器, 而判别器则努力不被欺骗。这种对抗过程最终能驱动生成器产生高度逼真和多样化的內容。

案例研究: GAN 的博弈过程与训练细节

GAN 的核心思想是通过生成器 (Generator, G) 和判别器 (Discriminator, D) 之间的“对抗”来学习数据的真实分布。我们可以将 D 视作一个传统的分类器 (如图 2.14a), 其任务是判断输入是真实数据还是伪造数据; 而 G 则是一个生成模型 (如图 2.14b), 它试图将简单的随机噪声 z 映射为与真实数据无法区分的样本 $G(z)$ 。



(a) 判别模型 (Discriminative Model) 示意图

(b) 生成模型 (Generative Model) 示意图

图 2.14: GAN 的两个核心组件: 判别器与生成器

1. 训练过程的数学解析 GAN 的训练过程是一个迭代的、分阶段的博弈, 其整体流程如图 2.15 所示。

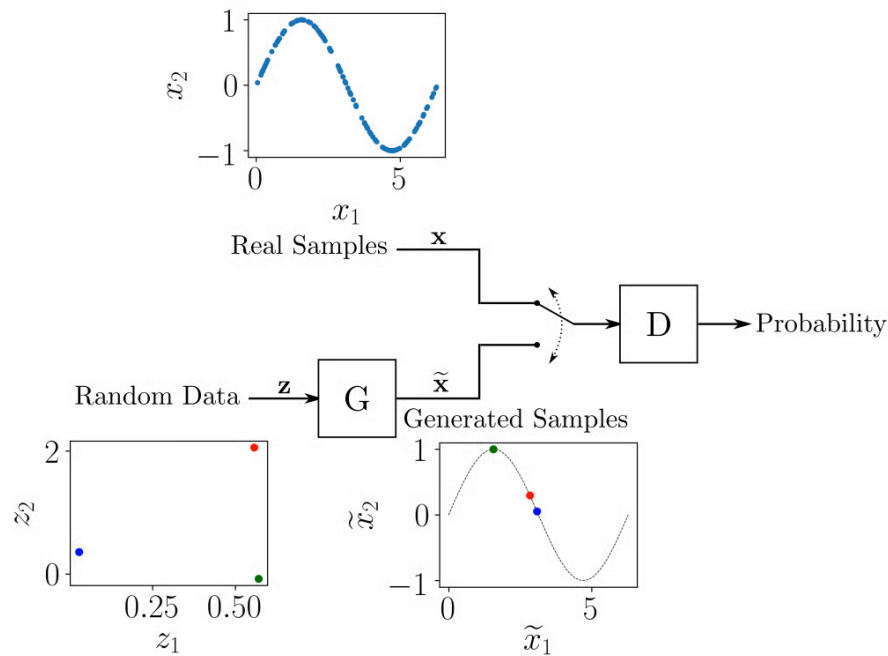


图 2.15: GAN 的整体训练循环示意图, 展示了从真实样本 (Real Samples) 和生成样本 (Generated Samples) 到判别器和损失函数的完整流程

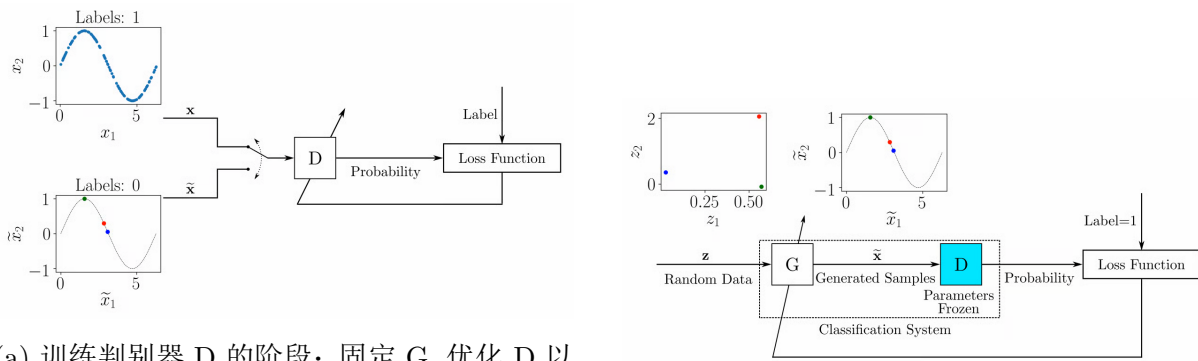
这个过程在数学上可以分解为两个独立的优化阶段 (如图 2.16):

- 阶段一: 训练判别器 D 。在此阶段, 生成器 G 的参数被固定。判别器 D 的目标是最大化其正确分类的能力, 即对于来自真实数据分布 $p_{\text{data}}(x)$ 的样本 x , 最大化 $D(x)$; 对于来自生成器 G 的伪造样本 $G(z)$ (其中 $z \sim p_z(z)$), 最大化 $1 - D(G(z))$ 。这等价于最大化以下目标函数, 也就是之前提到的价值函数 $V(D, G)$:

$$\max_D V(D, G) = \mathbb{E}_{x \sim p_{\text{data}}(x)} [\log D(x)] + \mathbb{E}_{z \sim p_z(z)} [\log(1 - D(G(z)))]$$

- 阶段二: 训练生成器 G 。判别器 D 的参数被固定。生成器 G 的目标是最小化其生成样本被判别器识别出来的概率, 即最小化 $1 - D(G(z))$, 这等价于最大化 $D(G(z))$ 。在实践中, 为了避免在训练初期因 D 过强而导致 G 的梯度消失问题, 通常不直接最小化 $\log(1 - D(G(z)))$, 而是采用非饱和的目标函数, 即最大化 $\log D(G(z))$ 。因此, 生成器的优化目标是:

$$\max_G V_G = \mathbb{E}_{z \sim p_z(z)} [\log D(G(z))]$$



(a) 训练判别器 D 的阶段：固定 G，优化 D 以区分真伪样本。真实样本 x 的标签为 1，生成样本 $G(z)$ 的标签为 0。

(b) 训练生成器 G 的阶段：固定 D，优化 G 以生成能让 D 判断为“真”（标签 1）的样本。

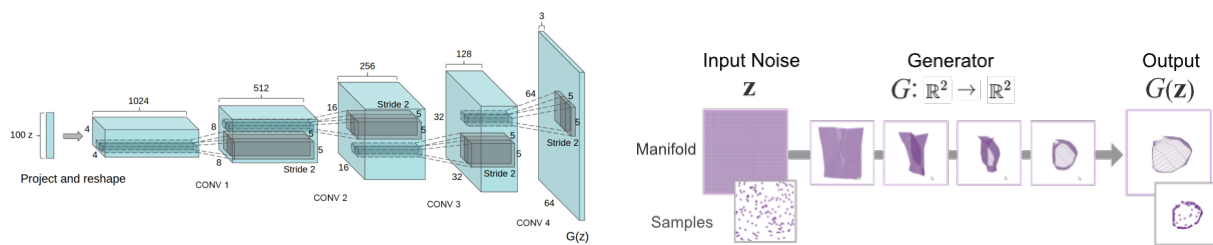
图 2.16: GAN 训练的两个交替阶段对比

2. 收敛与理论最优解 当且仅当生成分布 p_g 与真实数据分布 p_{data} 完全一致时，这个博弈过程达到纳什均衡。此时，判别器 D 无法区分真实样本与生成样本，对于任何输入 x ，其输出概率恒为 $\frac{1}{2}$ ，即：

$$D_G^*(x) = \frac{p_{\text{data}}(x)}{p_{\text{data}}(x) + p_g(x)} = \frac{1}{2}$$

从理论上，这个过程等价于最小化真实分布与生成分布之间的 JS 散度（Jensen-Shannon Divergence），这为 GAN 的收敛性提供了理论保障。

3. GAN 的架构与应用实例 现代 GAN，特别是深度卷积生成对抗网络（DCGAN），使用深度卷积网络作为生成器和判别器的架构。生成器通常由一系列转置卷积（或称反卷积）层构成，将一个低维的随机噪声向量 z 逐步上采样，最终生成高分辨率的图像（如图 2.17a 所示）。通过学习，GAN 能够捕捉到数据背后的复杂流形结构，将简单的噪声分布（如图 2.17b 中的 Samples）映射为具有丰富细节的生成图像。



(a) 一个典型的 DCGAN 生成器网络结构

(b) GAN 学习数据流形的可视化过程

图 2.17: DCGAN 架构示例与 GAN 的流形学习能力

- **扩散模型 (Diffusion Models):** 扩散模型是近年来在图像生成领域取得巨大成功的另一类生成模型。其核心思想分为两个过程：一个前向的“扩散”过程和一个反向的“去噪”过程。在前向过程中，模型逐步地向一张真实的图片中添加噪声，直到其完全变为纯噪声。在反向过程中，模型学习如何从纯噪声开始，逐步地、迭代地去除噪声，最终恢复出一张清晰、高质量的图片。正是通过学习这个去噪过程，模型掌握了生成新图像的能力。

案例研究：扩散模型的数学原理与实现

扩散模型 (Denoising Diffusion Probabilistic Models, DDPMs) 通过模拟一个逐渐破坏数据再重建数据的过程来进行学习和生成^[17]。

1. 前向过程 (Forward Process / Diffusion Process) 前向过程是一个固定的马尔可夫链，它逐步地向原始数据 x_0 (来自真实数据分布 $q(x_0)$) 中添加高斯噪声。这个过程持续 T 个时间步，噪声的方差由一个预设的时间表 (variance schedule) $\{\beta_t\}_{t=1}^T$ 控制。在任意时间步 t ，从 x_{t-1} 到 x_t 的转换被定义为：

$$q(x_t|x_{t-1}) = \mathcal{N}(x_t; \sqrt{1 - \beta_t}x_{t-1}, \beta_t \mathbf{I})$$

如图 2.18 所示，随着 t 的增加，数据逐渐失去其原有特征，最终在 $t = T$ 时近似于一个标准高斯分布 $\mathcal{N}(0, \mathbf{I})$ 。这个过程的一个重要特性是，我们可以通过以下公式直接从原始数据 x_0 采样任意时间步 t 的含噪数据 x_t ：

$$q(x_t|x_0) = \mathcal{N}(x_t; \sqrt{\bar{\alpha}_t}x_0, (1 - \bar{\alpha}_t)\mathbf{I})$$

其中 $\alpha_t = 1 - \beta_t$ 且 $\bar{\alpha}_t = \prod_{i=1}^t \alpha_i$ 。

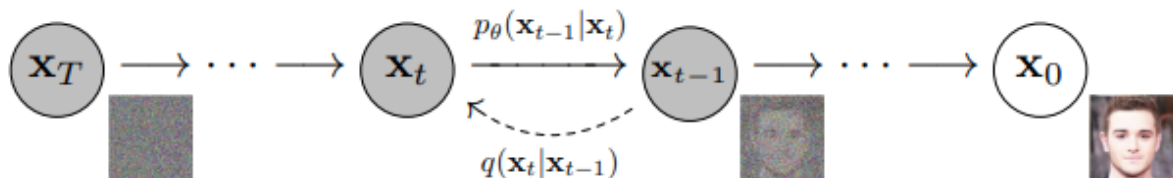


Figure 2: The directed graphical model considered in this work.

图 2.18：扩散模型的前向过程：从清晰图像 (x_0) 逐步添加噪声，直至变为纯噪声图像 (x_T)。

2. 反向过程 (Reverse Process / Denoising Process) 反向过程的目标是学习前向过程的逆过程, 即从纯噪声 x_T 中逐步去除噪声, 最终恢复出原始数据 x_0 。这个过程也是一个马尔可夫链, 但其转移概率是未知的, 需要通过一个深度神经网络 (通常是 U-Net 架构) 来学习。我们将这个由参数 θ 控制的神经网络表示为 p_θ 。反向过程的每一步定义为:

$$p_\theta(x_{t-1}|x_t) = \mathcal{N}(x_{t-1}; \mu_\theta(x_t, t), \Sigma_\theta(x_t, t))$$

如图 2.19 所示, 模型在每个时间步 t 预测噪声, 然后从含噪图像 x_t 中减去预测的噪声, 得到一个更清晰的图像 x_{t-1} 。

Algorithm 1 Training

- 1: **repeat**
- 2: $\mathbf{x}_0 \sim q(\mathbf{x}_0)$
- 3: $t \sim \text{Uniform}(\{1, \dots, T\})$
- 4: $\boldsymbol{\epsilon} \sim \mathcal{N}(\mathbf{0}, \mathbf{I})$
- 5: Take gradient descent step on

$$\nabla_\theta \|\boldsymbol{\epsilon} - \epsilon_\theta(\sqrt{\bar{\alpha}_t} \mathbf{x}_0 + \sqrt{1 - \bar{\alpha}_t} \boldsymbol{\epsilon}, t)\|^2$$
- 6: **until** converged

图 2.19: 扩散模型的反向 (去噪) 过程: 从随机噪声 (x_T) 开始, 由神经网络引导, 逐步恢复出清晰图像 (x_0)。

3. 训练目标与损失函数 扩散模型的训练目标是最大化数据的对数似然 $\log p_\theta(x_0)$ 。通过变分推断, 这个目标可以转化为最小化一个损失函数 $L(\theta)$, 该损失函数衡量了真实的反向过程后验概率 $q(x_{t-1}|x_t, x_0)$ 与模型学习到的近似后验概率 $p_\theta(x_{t-1}|x_t)$ 之间的 KL 散度。经过简化, 一个更直接的训练目标是让神经网络 $\epsilon_\theta(x_t, t)$ 在每个时间步都能准确地预测出添加到 x_0 中以产生 x_t 的噪声 ϵ 。其简化的损失函数为:

$$L_{\text{simple}}(\theta) = \mathbb{E}_{t, x_0, \epsilon} [\|\boldsymbol{\epsilon} - \epsilon_\theta(\sqrt{\bar{\alpha}_t} \mathbf{x}_0 + \sqrt{1 - \bar{\alpha}_t} \boldsymbol{\epsilon}, t)\|^2]$$

其中 t 从 $\{1, \dots, T\}$ 中均匀采样, $\boldsymbol{\epsilon} \sim \mathcal{N}(0, \mathbf{I})$ 。如图 2.20 所示, 模型通过不断地比较真实噪声和预测噪声的差异来优化自身参数。

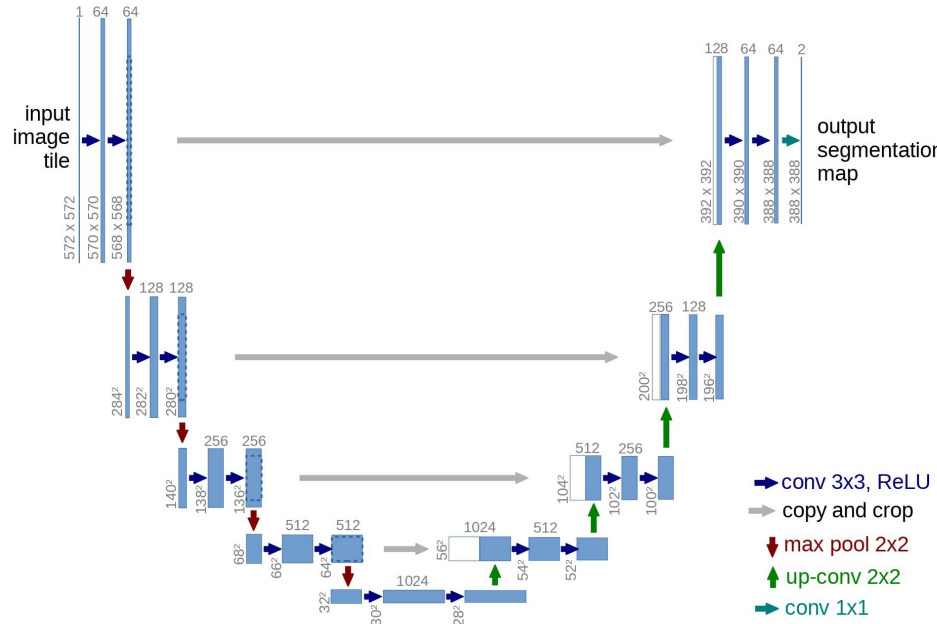


图 2.20: 扩散模型的训练目标: 神经网络 ϵ_θ 学习预测在时间步 t 添加到原始图像 x_0 上的噪声。

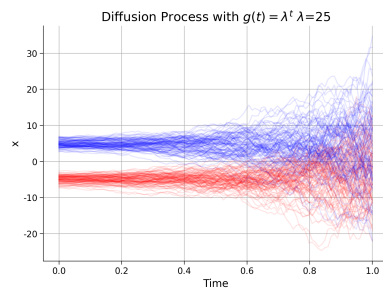
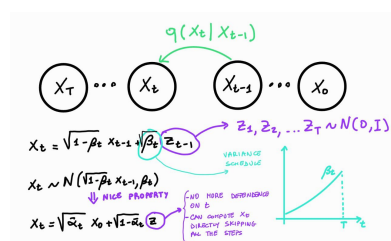
4. 架构与应用实例 扩散模型的生成能力在近年来的多个模型中得到了验证, 如 GLIDE, DALL-E 2, Imagen, 和 Stable Diffusion 等。这些模型通过在反向过程中引入额外的条件(如文本描述), 实现了高质量的文本到图像生成。图 2.21 展示了不同扩散模型生成的图像, 体现了其在生成细节丰富、语义准确的图像方面的强大能力。

Algorithm 2 Sampling

```

1:  $\mathbf{x}_T \sim \mathcal{N}(\mathbf{0}, \mathbf{I})$ 
2: for  $t = T, \dots, 1$  do
3:    $\mathbf{z} \sim \mathcal{N}(\mathbf{0}, \mathbf{I})$  if  $t > 1$ , else  $\mathbf{z} = \mathbf{0}$ 
4:    $\mathbf{x}_{t-1} = \frac{1}{\sqrt{\alpha_t}} \left( \mathbf{x}_t - \frac{1-\alpha_t}{\sqrt{1-\alpha_t}} \boldsymbol{\epsilon}_\theta(\mathbf{x}_t, t) \right) + \sigma_t \mathbf{z}$ 
5: end for
6: return  $\mathbf{x}_0$ 

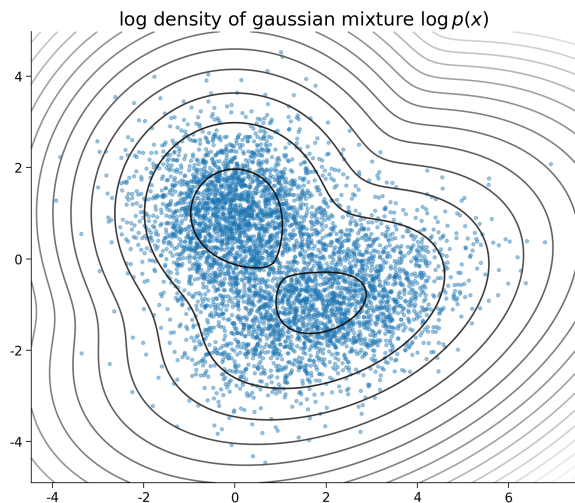
```



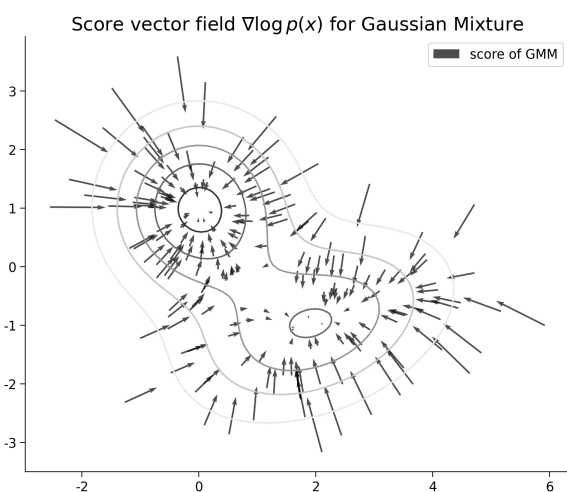
(a) GLIDE

(b) DALL-E 2

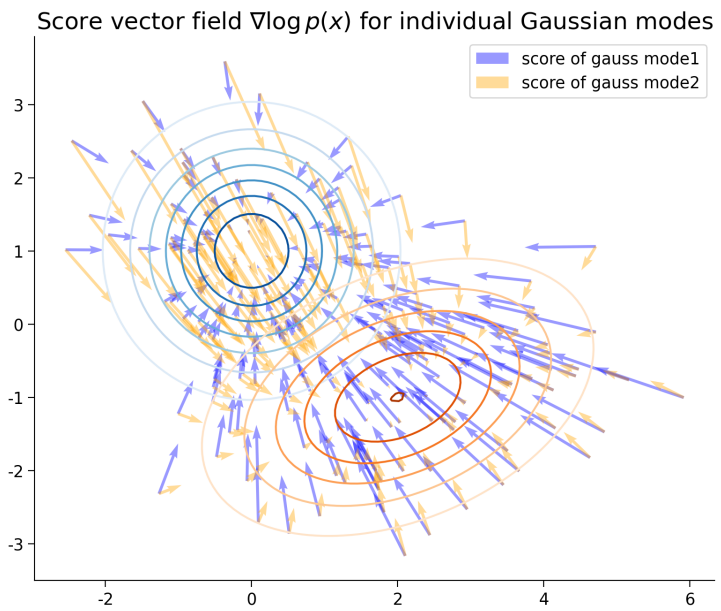
(c) Imagen



(d) Stable Diffusion



(e) SDXL Turbo



(f) Stable Diffusion 3

图 2.21: 不同文本到图像扩散模型生成的图像示例

2.5 大型语言模型（LLMs）的兴起

大型语言模型（Large Language Models, LLMs），如 OpenAI 的 GPT-3 和 GPT-4，是现代 AI 发展的集大成者。

- **核心能力：**LLMs 通过在海量的文本和代码数据上进行训练，学习到了强大的语言理解、生成和推理能力。它们不仅能生成流畅、连贯的文本，还能进行翻译、摘要、问答、代码生成，甚至进行一定程度的常识推理和逻辑推理。一个关键的发现是“涌现能力”（Emergent Abilities），即当模型的规模（参数量、数据量和计算量）超过某个阈值后，会突然展现出在小模型上不存在的新能力。
- **应用领域：**LLMs 的应用已经渗透到各个领域，包括：
 - 对话系统：如 ChatGPT，能够进行开放域、多轮次的流畅对话。
 - 内容创作：辅助撰写邮件、报告、营销文案和新闻稿等。
 - 代码生成：如 GitHub Copilot，能够根据自然语言描述自动生成代码片段。
 - 知识问答与搜索：提供比传统搜索引擎更直接、更具概括性的答案。
- **局限性与挑战：**尽管能力强大，LLMs 也面临着诸多挑战，包括：事实性错误（“幻觉”现象）、可能存在的偏见和歧视、高昂的训练和推理成本、以及其决策过程缺乏可解释性等。

案例研究：大型语言模型的规模效应与趋势

大型语言模型（LLMs）的革命性进展，在很大程度上归功于对其“规模效应”（Scaling Effect）的深刻理解和利用。研究发现，LLMs 的性能与其规模——主要包括模型参数量（N）、训练数据集大小（D）和所用计算量（C）——之间存在着可预测的幂律关系（Power Law），这被称为缩放法则（Scaling Laws）。

1. 缩放法则的数学表达 一个简化的缩放法则公式可以表示模型在给定计算预算下的最优损失（Loss） L 与模型参数量 N 和训练数据量 D 的关系：

$$L(N, D) = E + \frac{A}{N^\alpha} + \frac{B}{D^\beta}$$

其中， E, A, B, α, β 均为通过实验拟合得到的常数。该公式揭示了，为了达到最低的损失，模型的参数量和数据量需要协同增长。例如，DeepMind 的 Chinchilla 模型研究发现，在给定计算量下，若要训练出最优模型，模型大小和训练数据量应大致保持 1:1 的比例增长。这一发现指导了后续 LLMs（如 Llama 系列）更高效的训练策略。

2. 发展趋势的可视化分析 近年来, 对 AI 模型训练的投入呈现指数级增长。图 2.22 展示了 AI 领域, 特别是前沿 LLMs, 在训练计算量(以 FLOPs 为单位)上的惊人增长趋势。无论是通用模型还是特定领域的模型, 其计算投入都大致遵循着每年数倍增长的规律。

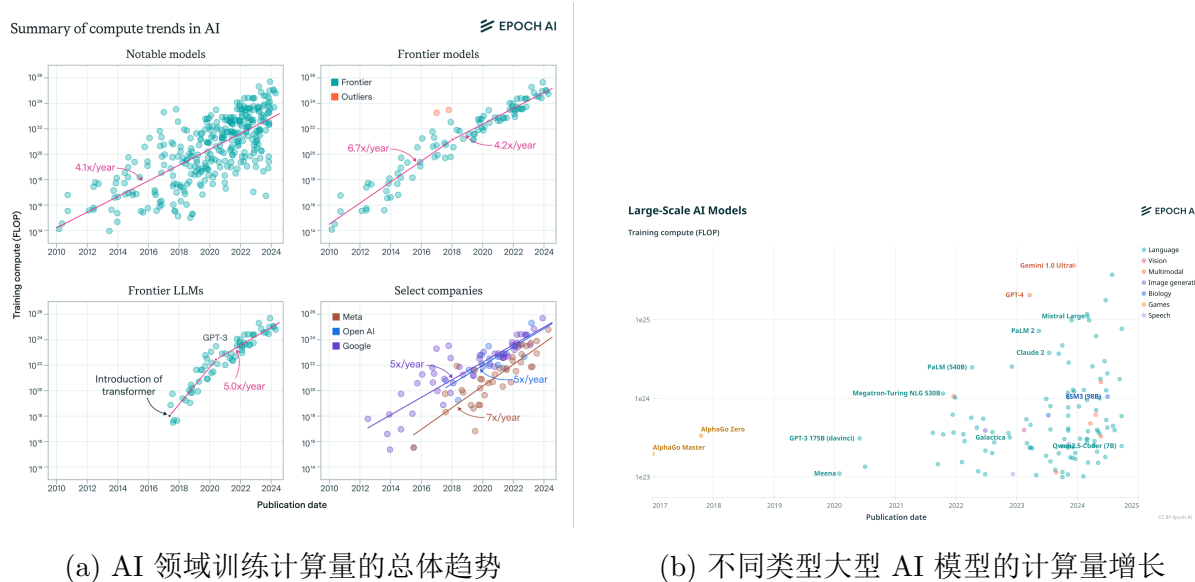


图 2.22: AI 模型训练计算量的指数级增长趋势

这种指数级的计算投入直接转化为高昂的训练成本。如图 2.23a 所示, 从早期的 Transformer 模型到最新的 Gemini Ultra, 训练成本已从数千美元飙升至接近两亿美元。同时, 模型的性能和行为也变得愈发复杂, 使得如何评估和理解它们成为新的研究课题。图 2.23b 则展示了人类对不同 AI(包括早期的 ELIZA 和现代的 LLMs)的识别原因分布, 反映出随着模型能力的增强, 其行为的“人性化”程度也在提高, 对“图灵测试”提出了新的挑战。

3. 模型性能与置信度校准 随着模型规模的扩大, 其输出的准确性与自身的置信度(Confidence)之间的关系变得至关重要。一个“校准良好”的模型, 其预测的置信度应该能真实反映其预测的正确率。图 2.24 展示了不同 LLMs 在与人类的对比测试中的准确率与置信度的关系。理想情况下, 准确率应随置信度的增加而提高。这些图表揭示了不同模型在“自我认知”能力上的差异, 这是评估其可靠性和可信度的重要维度。

2.6 其他新兴技术

除了上述主流技术外, 一些新兴的技术方向也在不断拓展着人工智能的边界。

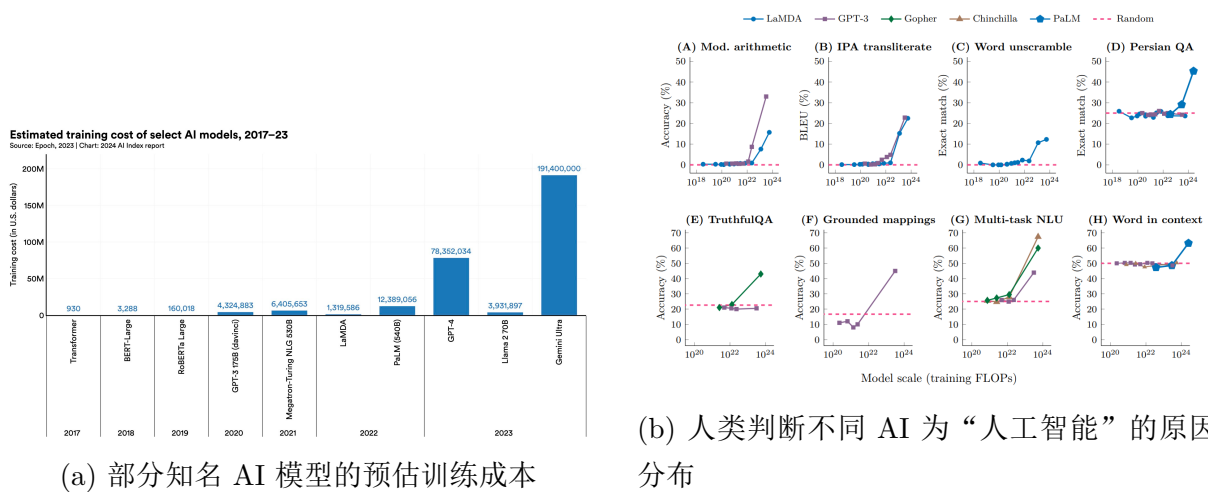


图 2.23: 大型 AI 模型的训练成本与人类感知分析

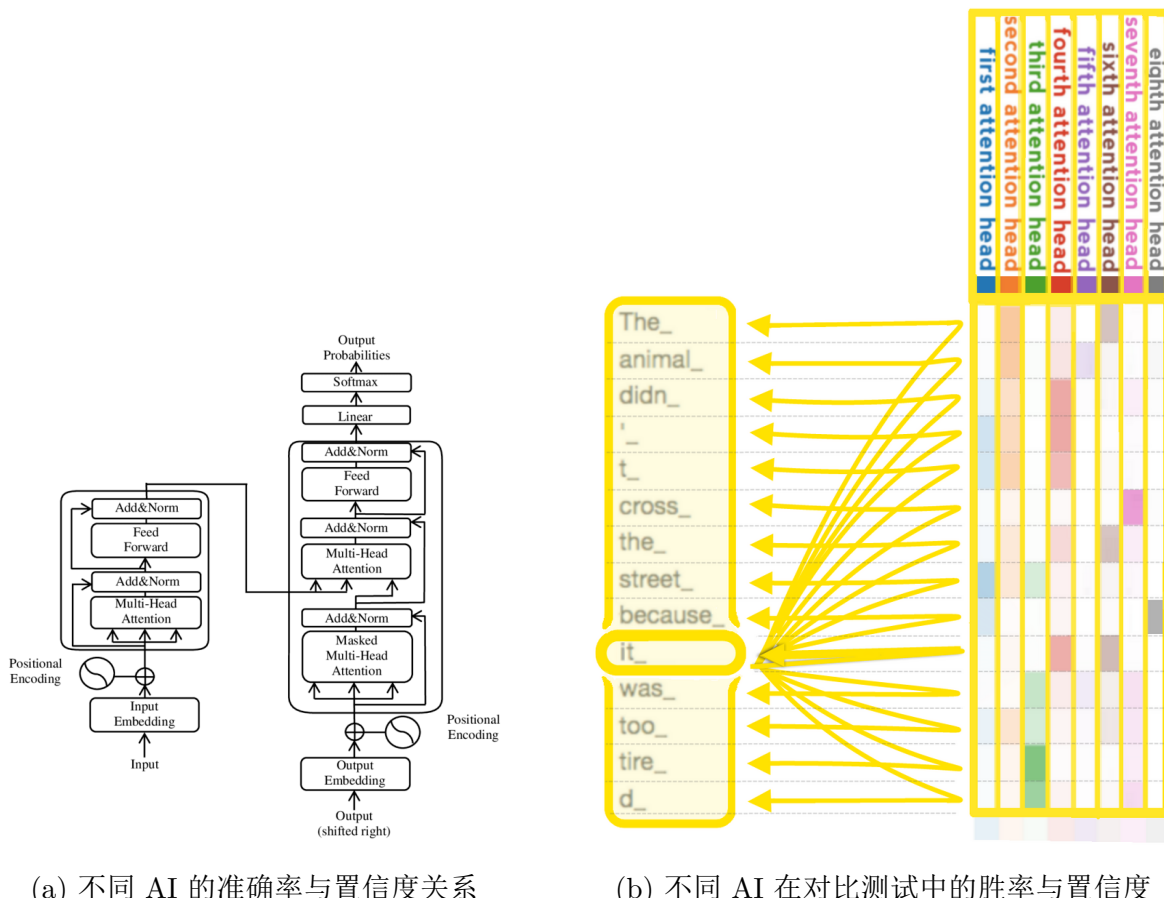


图 2.24: 大型语言模型的置信度校准与性能评估

- **联邦学习 (Federated Learning):** 联邦学习是一种分布式的机器学习范式, 它允许在多个持有本地数据的设备 (如手机) 上协同训练一个模型, 而无需将原始数据集中上传到服务器。这在保护用户数据隐私和安全方面具有巨大优势, 特别适用于金融、医疗等对数据安全要求极高的领域。
- **边缘 AI (Edge AI):** 边缘 AI 指的是将 AI 模型的训练和推理过程直接在数据产生的源头——即边缘设备 (如智能摄像头、工业传感器和可穿戴设备) 上执行。这可以显著降低延迟、减少对网络带宽的依赖, 并增强数据的实时处理能力和隐私保护。
- **多模态 AI (Multimodal AI):** 多模态 AI 旨在让模型能够同时理解和处理来自不同模态的信息, 如文本、图像、语音和视频。通过融合多模态信息, 模型可以获得对世界更全面、更深入的理解, 从而在诸如视频内容理解、图文生成和情感计算等任务中表现出更强的能力。

2.7 总结

本章详细阐述了驱动现代人工智能发展的各项关键技术。从监督学习、无监督学习到强化学习这三大经典机器学习范式, 为 AI 提供了基础的理论框架。深度学习的崛起, 特别是 CNN 在视觉领域的突破、RNN/LSTM 对序列数据的处理能力, 以及 Transformer 架构对自然语言处理的颠覆, 共同构成了现代 AI 技术的核心支柱。在此基础上, 生成式 AI(如 GANs 和扩散模型) 赋予了机器前所未有的创造力, 而大型语言模型的兴起则将 AI 的通用能力推向了新的高度。最后, 联邦学习、边缘 AI 和多模态 AI 等新兴技术, 正从隐私保护、部署效率和信息融合等多个维度, 进一步拓展着人工智能的未来版图。这些技术相互交织、共同演进, 正在深刻地重塑着科技和社会的面貌。

第三章 人工智能的应用、挑战与未来展望

本章将从宏观层面探讨人工智能对社会各领域的影响，并分析其带来的挑战和未来的发展方向。

3.1 AI 的广泛应用

人工智能的涟漪已然荡开，浸润着社会肌理的每一寸，如春风化雨般，悄然间催生出生产力的新芽，亦为寻常巷陌注入了便捷的甘泉。

我们正站在一个由人工智能重塑的时代门槛上，它不仅是冰冷的算法和代码，更是赋能人类潜能的强大工具。在医疗健康领域，AI 正成为医生的“第三只眼”，精准诊断疾病，加速新药研发，为生命健康构筑起一道坚实防线。它不再仅仅是辅助工具，而是深度参与到疾病的早期筛查、个性化治疗方案的制定中，让医学的边界不断拓展。

在金融的世界里，AI 如一位敏锐的风险管家，洞察着市场的瞬息万变，识别潜在的欺诈行为，守护着我们的财富安全。它在海量数据中抽丝剥茧，提前预警风险，让金融交易更加透明、公正。交通领域，从自动驾驶的未来愿景，到智能物流的实时优化，AI 正在重新定义出行的效率与安全，让货物运输更智慧，人们的旅途更便捷。而工业的脉搏，也因 AI 而强劲跳动，智能制造让生产线拥有了“大脑”，预测性维护则让机器的“生命”得以延长，极大提升了生产效率和产品质量。在教育的天空下，AI 如一位耐心且智慧的导师，为每一个学生量身定制学习路径，让知识的获取变得更高效、更个性化，真正实现因材施教。

不仅在产业深处，AI 也以润物细无声的方式渗透进我们的日常生活。智能家居让我们的居所变得更懂我们，一句话便能掌控光影与温度，营造出舒适温馨的港湾。个性化推荐算法如同贴心的向导，在浩瀚的信息海洋中精准捕捉我们的喜好，无论是电影、音乐还是商品，总能恰到好处地呈现在眼前。而那些无处不在的智能助手，无论是手机里的语音伙伴，还是在线客服，都让信息触手可及，让生活琐事变得更加从容不迫。

人工智能的崛起，正以前所未有的深度和广度，改变着我们工作、学习和生活的方式，描绘出一幅充满无限可能的新画卷。它不仅仅是技术的迭代，更是人类文明迈向新

纪元的关键一步。

3.1.1 产业应用

- **医疗健康：**AI 在疾病诊断方面展现出强大的能力，例如通过影像识别辅助医生发现早期病变；在药物研发领域，AI 加速了新药筛选和靶点识别的进程，大幅缩短了研发周期；在临床决策方面，AI 通过分析数据优化治疗路径，提升医疗质量。

AI 赋能疾病的“慧眼”：影像识别的精准诊断

在现代医学的诊断过程中，医学影像扮演着至关重要的角色，而人工智能的介入，则赋予了这些影像更深层的解读能力。AI 在影像识别方面的强大能力，使得医生能够更早、更准确地发现疾病的细微征兆。这背后，是深度学习（Deep Learning）尤其是卷积神经网络（Convolutional Neural Networks, CNNs）等前沿技术的支撑。

CNNs 在处理图像数据方面具有天然的优势，它们通过模拟人脑视觉皮层的分层处理机制，能够自动从海量的医学影像（如 CT、MRI、X 光、超声等）中学习并提取复杂的特征。例如，在一个典型的医疗影像诊断流程中，AI 系统会经过以下步骤：

1. **数据预处理：**对原始影像进行去噪、增强、标准化等操作，以提高图像质量。
2. **特征提取：** CNNs 的多层结构自动学习并提取影像中的局部和全局特征，例如肿瘤的边缘、纹理、密度变化等。
3. **模式识别与分类：** 基于提取的特征，AI 模型判断影像中是否存在病变，并对其进行分类。

案例：早期癌症筛查

在癌症的早期诊断中，AI 影像识别已经取得了显著进展。例如，浙江省肿瘤医院的研究团队利用 AI 成功从平扫 CT 中识别早期胃癌。他们通过一个名为“DAMO GRAPE”的模型，对数万例 CT 影像进行训练，使其能够精准识别早期胃癌病灶。在一个实际案例中，一名患者 6 个月前的 CT 片在当时未报告病变，但经过 AI 模型分析后，却提示存在早期胃癌，这为患者赢得了宝贵的早期治疗时间。

AI 加速药物研发：从浩瀚分子到精准靶点

新药研发是一个漫长、昂贵且高风险的过程。传统上，从靶点发现到药物上市可能需要十年甚至更长时间，耗费数十亿美元。而人工智能的引入，正像一台强大

的“加速器”，颠覆着这一传统模式，尤其在新药筛选和靶点识别方面展现出革命性潜力。

AI 在药物研发中的核心技术包括：

- **机器学习/深度学习模型**：如图神经网络（Graph Neural Networks, GNNs）、生成对抗网络（Generative Adversarial Networks, GANs）、变分自编码器（Variational Autoencoders, VAEs）等。
- **计算化学与生物信息学**：结合分子动力学模拟、量子化学计算、蛋白质结构预测等。

原理与应用：

1. **靶点识别与验证**：AI 可以通过分析海量的基因组学、蛋白质组学、代谢组学等多组学数据，以及医学文献和专利信息，来识别与疾病发生发展密切相关的潜在生物大分子（即药物靶点）。例如，知识图谱结合自然语言处理（NLP）技术，能够从海量非结构化文本中提取信息，构建基因、疾病、化合物和生物通路之间的复杂关系网络，从而快速定位新的靶点。

$$P(\text{Target}|\text{Data}) \propto P(\text{Data}|\text{Target}) \times P(\text{Target})$$

其中， $P(\text{Target}|\text{Data})$ 表示在给定数据下靶点存在的概率， $P(\text{Data}|\text{Target})$ 表示给定靶点下数据出现的概率， $P(\text{Target})$ 是靶点的先验概率。AI 通过迭代优化这个概率模型来识别最有潜力的靶点。

案例：Insilico Medicine 的靶点发现平台 Insilico Medicine 公司利用其基于 Transformer 的知识图谱功能，从全球期刊文献中提取信息，关联基因、疾病、化合物和生物通路，并结合大型语言模型进行问答，以快速识别疾病发展的遗传基础和分子机制，从而加速药物靶点和生物标志物的识别。有案例显示，AI 驱动的多组学整合将乳腺癌研究中的靶点发现周期从传统的 1-2 年缩短至 3-6 个月。

2. **新药筛选与分子设计**：AI 可以在庞大的化合物库中进行虚拟筛选，预测化合物与靶点之间的结合能力和活性，从而快速筛选出最有潜力的候选分子。同时，**生成式 AI 模型**（如 GANs 和 VAEs）能够从头设计具有特定药理活性的新型分子结构，突破传统化学合成的局限性。

案例：抗生素发现与 CDK20 抑制剂 2023 年底，《自然》杂志报道了科学家运用 AI 技术首次发现对耐甲氧西林金黄色葡萄球菌（MRSA）有效的新抗生素，解决了困扰业界 60 年的难题。AI 通过训练模型评估 3.9 万种化合物的抗菌活性，再利用深度学习模型筛选出对人体安全的化合物。

在靶向药物开发中，AI 也展现了惊人的速度。例如，针对 **CDK20** 靶点，一家公司利用 AI 从靶点识别到获得活性化合物仅用 30 天，并合成 7 个分子后就获得了纳摩尔级别的抑制剂。这与传统方法通常需要 6-12 个月甚至更长时间形成鲜明对比。

AI 优化临床决策与治疗路径

除了在诊断和研发前端发力，人工智能在优化临床治疗路径、辅助医生进行复杂决策方面也扮演着日益重要的角色。通过分析海量的临床数据，包括电子病历、临床试验结果和治疗指南，AI 能够构建精准的预测模型，为患者推荐个性化的最优治疗方案。

案例：基于临床数据的治疗方案比选

以接受维生素 K 拮抗剂（VKA）治疗的髋部骨折患者为例，临床医生面临着如何在术前快速、安全地逆转抗凝效应的决策。这通常涉及到在凝血酶原复合物浓缩物（PCC）、维生素 K 或常规处理之间做出选择。AI 可以通过分析过往的临床试验数据来辅助这一决策过程。

一个典型的研究流程可能如图 3.1 所示，研究者首先从大量患者中筛选出符合条件的受试者，并将其随机分配至不同治疗组。

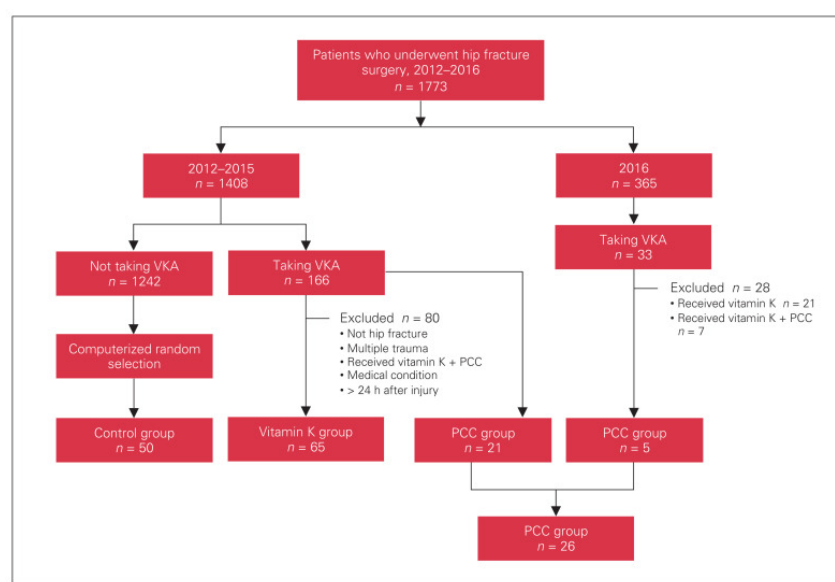


图 3.1: 一项关于髋部骨折患者术前抗凝管理的临床研究患者筛选流程图，展示了对照组、维生素 K 组和 PCC 组的构成。

治疗方案本身可以被构建成一个标准化的决策流程，如图 3.2 所示。这类流程图为开发基于规则或模型的 AI 临床决策支持系统（CDSS）提供了基础。AI 模型可

以学习并优化这类流程中的每一个决策节点。

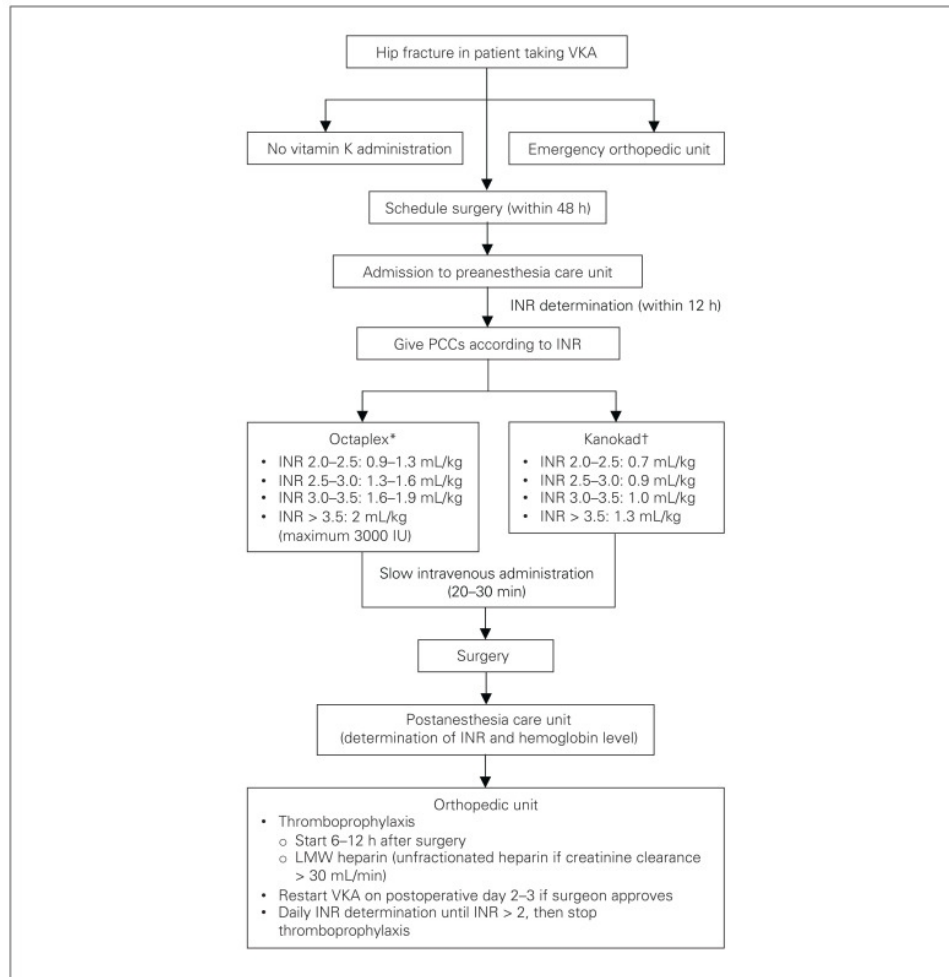


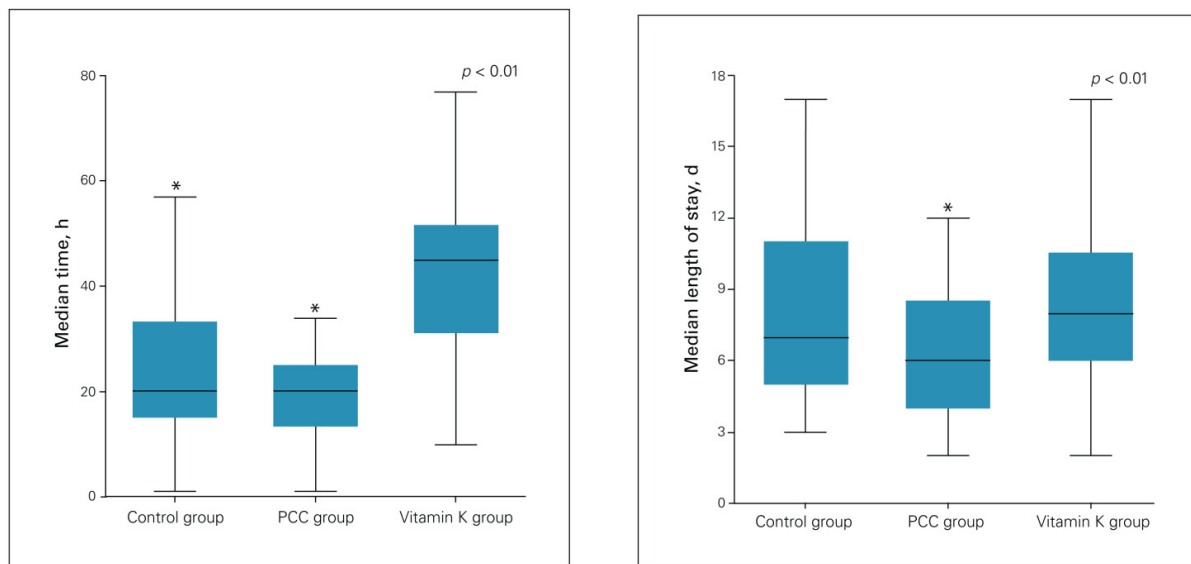
图 3.2: VKA 患者髋部骨折围手术期管理流程图, 根据术前 INR 水平决定 PCC 给药剂量。

AI 的核心价值在于, 它可以基于实际的临床结果数据, 量化不同治疗方案的优劣。例如, 通过对不同组别的关键指标——如术前等待时间 (time to surgery) 和住院时长 (length of stay) ——进行统计分析 (如图 3.3), AI 能够建立预测模型。

该模型可以被形式化地表达为一个函数 f , 其目标是预测某个临床结果 Y (如住院天数):

$$Y_{pred} = f(X_{\text{patient}}, X_{\text{treatment}}; \theta)$$

其中, X_{patient} 代表患者的个体特征 (如年龄、INR 初始值), $X_{\text{treatment}}$ 代表所采取的治疗方案 (如 PCC、维生素 K), θ 是模型通过学习历史数据得到的参数。AI 的目标就是找到最优的 θ , 使得预测值 Y_{pred} 与真实结果的误差最小化, 从而为新患者推荐能带来最佳预期结果的治疗方案。



(a) 不同治疗方案对中位手术等待时间的影响

(b) 不同治疗方案对中位住院天数的影响

图 3.3: PCC 组、维生素 K 组和对照组在关键临床结果上的对比。数据显示, PCC 组在缩短手术等待时间和住院天数方面均有显著优势 ($p < 0.01$), 这类数据是训练 AI 预测模型的宝贵资源。

通过这种方式, AI 不仅能够验证现有临床指南的有效性, 还能发现更优的、更具个性化的治疗策略, 最终提升医疗质量和效率。

- **金融:** 人工智能已深度重塑金融行业, 其应用贯穿风险管理、欺诈检测、量化交易和财富管理等多个核心领域, 通过复杂的算法模型提升决策效率与精准度。

AI 驱动的智能风险管理与信用评估

传统的信用风险评估多依赖于线性模型和有限的结构化数据, 而人工智能, 特别是机器学习模型, 能够整合海量、多维度的数据(包括非传统的另类数据), 进行更精准的信用风险定价。

- **核心技术:** 主要采用监督学习算法, 如逻辑回归 (Logistic Regression)、支持向量机 (SVM)、梯度提升决策树 (Gradient Boosting Decision Trees, GBDT) 以及深度神经网络 (DNNs)。这些模型能够从历史数据中学习复杂的非线性关系, 识别出人眼难以发现的风险模式。
- **原理与公式:** 以逻辑回归为例, 其目标是预测一个借款人违约的概率。该概率 $P(Y = 1|X)$ 可以通过 Sigmoid 函数表示:

$$P(Y = 1|X) = \frac{1}{1 + e^{-(\beta_0 + \beta_1 X_1 + \dots + \beta_n X_n)}}$$

其中, $Y = 1$ 代表违约事件, $X = (X_1, \dots, X_n)$ 是借款人的特征向量 (如收入、负债、信用历史、消费行为等), $\beta = (\beta_0, \dots, \beta_n)$ 是模型通过训练数据学习到的参数。AI 模型通过优化算法 (如梯度下降法) 来找到最佳的 β 值, 从而最小化预测概率与实际结果之间的误差。

基于聚类的客户分群与异常检测

理解客户是金融服务的基础。AI 通过无监督学习中的聚类技术, 能够自动地将具有相似特征或行为模式的客户划分到同一群体, 从而实现精准营销和个性化服务。

- **核心技术:** 高斯混合模型 (Gaussian Mixture Model, GMM) 是一种强大的概率聚类算法。它假设所有数据点来自于一个包含 K 个高斯分布 (如图 3.4) 的混合模型。与 K-Means 等硬聚类算法不同, GMM 提供“软聚类”, 即每个数据点属于各个簇的概率。

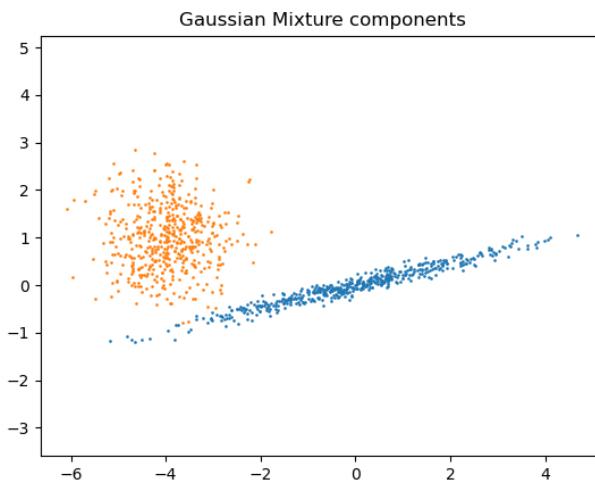


图 3.4: 高斯混合模型中两个成分 (高斯分布) 的散点图示例。

- **原理与公式:** GMM 的概率密度函数定义为:

$$p(x) = \sum_{k=1}^K \pi_k \mathcal{N}(x|\mu_k, \Sigma_k)$$

其中, K 是混合成分的数量, π_k 是第 k 个高斯分布的混合权重 ($\sum \pi_k = 1$), 而 $\mathcal{N}(x|\mu_k, \Sigma_k)$ 是一个均值为 μ_k 、协方差矩阵为 Σ_k 的高斯分布。模型通常通过期望最大化 (Expectation-Maximization, EM) 算法来学习这些参数。如图 3.5 展示了不同初始化方法对 EM 算法收敛效果的影响。

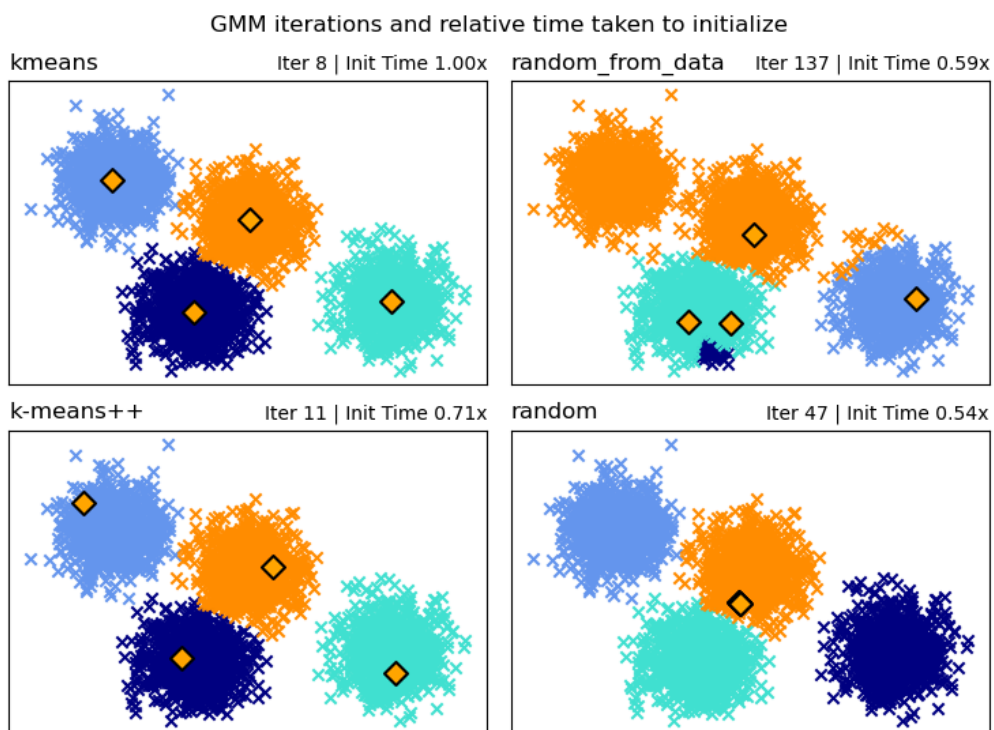


图 3.5: GMM 算法在不同初始化策略下的迭代次数与收敛情况对比，其中 k-means++ 是常用的高效初始化方法。

- **应用：异常检测。** GMM 学习了正常数据的分布后，可用于异常检测。对于一个新的数据点，如果其在所有高斯成分下的概率密度（即似然度）都非常低，那么它就很可能是一个异常点（如图 3.6）。这在识别欺诈交易或洗钱行为中非常有效。

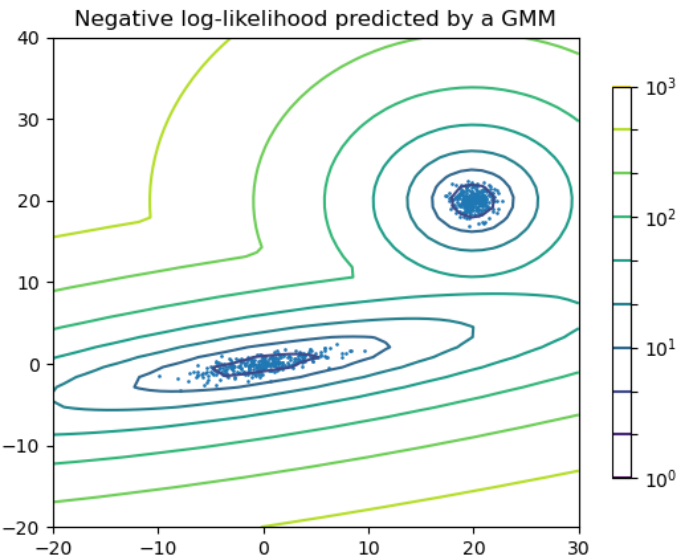


图 3.6：由 GMM 预测的负对数似然度等高线图。离中心区域越远的数据点，其似然度越低，越可能是异常点。

- **进阶应用：贝叶斯 GMM。** 传统 GMM 需要预先指定聚类的数量 K 。而贝叶斯高斯混合模型（Bayesian GMM）利用狄利克雷过程（Dirichlet Process）作为先验，可以从数据中自动推断出最合适的聚类数量。如图 3.7 所示，不同的先验假设 (γ_0) 会引导模型发现不同数量的簇，这赋予了模型更大的灵活性。图 3.8 和图 3.9 提供了标准 GMM 与贝叶斯 GMM 在聚类效果上的直观对比。

量化交易与算法交易

人工智能在量化交易领域的应用，旨在通过算法自动执行高频、复杂的交易策略，以捕捉市场中稍纵即逝的套利机会。

- **核心技术：强化学习（Reinforcement Learning, RL）** 是该领域的前沿技术。AI 智能体（Agent）被训练在一个模拟的市场环境中，其目标是学习一个最优的交易策略（Policy） π ，以最大化长期的累积收益。此外，用于时间

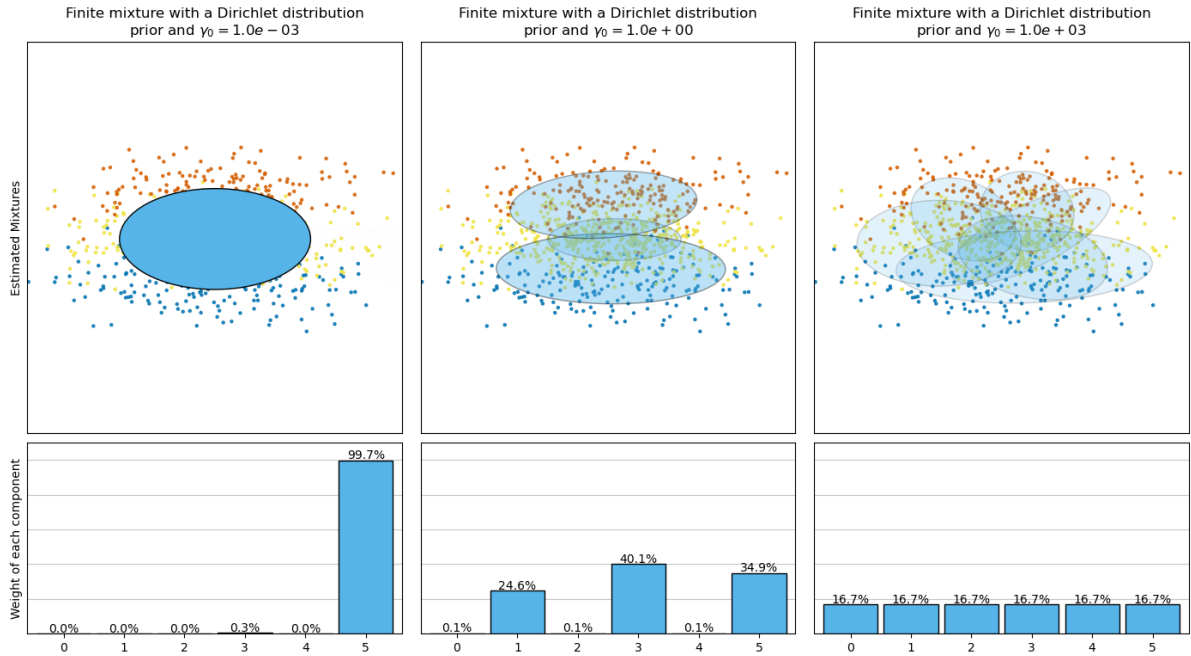
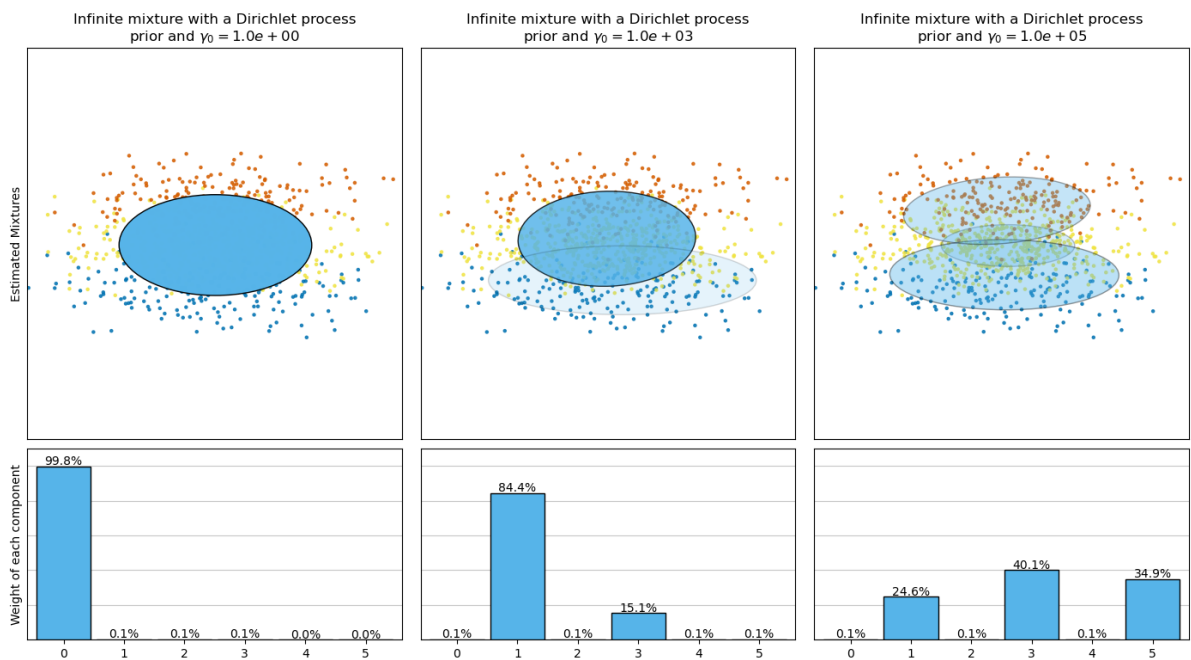
(a) 有限混合模型，展示了先验强度 γ_0 较小时，模型倾向于发现更少的簇。(b) 无限混合模型，展示了随着先验强度 γ_0 增大，模型能够发现更多、更细粒度的簇。

图 3.7: 贝叶斯 GMM 中狄利克雷过程先验对聚类数量的影响对比。

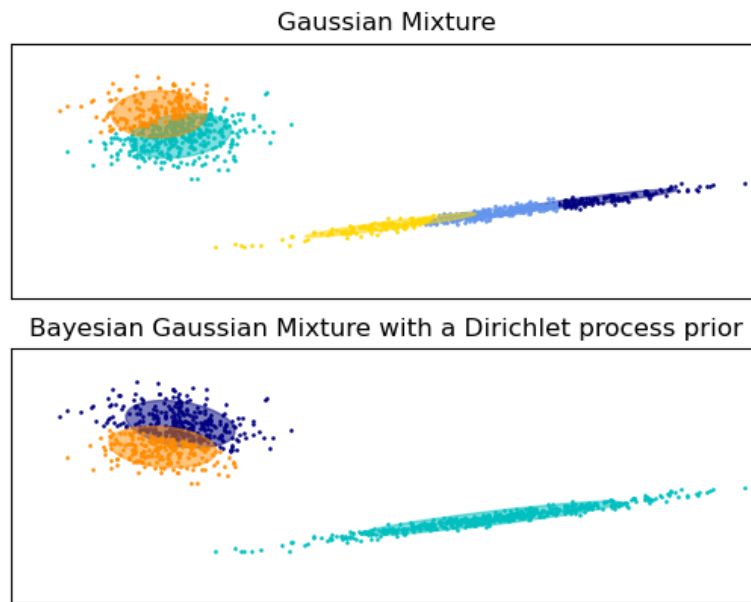


图 3.8: 标准 GMM (上) 与使用狄利克雷过程先验的贝叶斯 GMM (下) 的聚类结果对比。

序列预测的 **LSTM** 和 **Transformer** 模型也被广泛用于预测资产价格的短期波动。

- **原理与公式:** 在强化学习框架下, 智能体的目标是找到一个策略 $\pi(a_t|s_t)$, 即在给定的市场状态 s_t (包含当前价格、交易量、新闻情感等信息) 下, 采取能带来最大化未来预期回报的行动 a_t (买入、卖出或持有)。其优化的目标函数 (价值函数) 可以表示为:

$$V^\pi(s_t) = \mathbb{E}_\pi \left[\sum_{k=0}^{\infty} \gamma^k R_{t+k+1} | S_t = s_t \right]$$

其中, R_{t+k+1} 是在未来第 k 步执行策略后获得的奖励 (即投资回报), γ 是一个折扣因子, 用于平衡即时奖励与远期奖励的重要性。AI 通过不断的模拟交易和策略迭代 (如 Q-learning 或 Policy Gradient 等算法), 最终学会在复杂的市场动态中做出最优决策。

智能投顾与财富管理

智能投顾 (Robo-Advisor) 是人工智能与金融服务结合的典范, 它利用算法为用户提供自动化的投资组合建议和管理服务, 降低了传统财富管理的门槛。

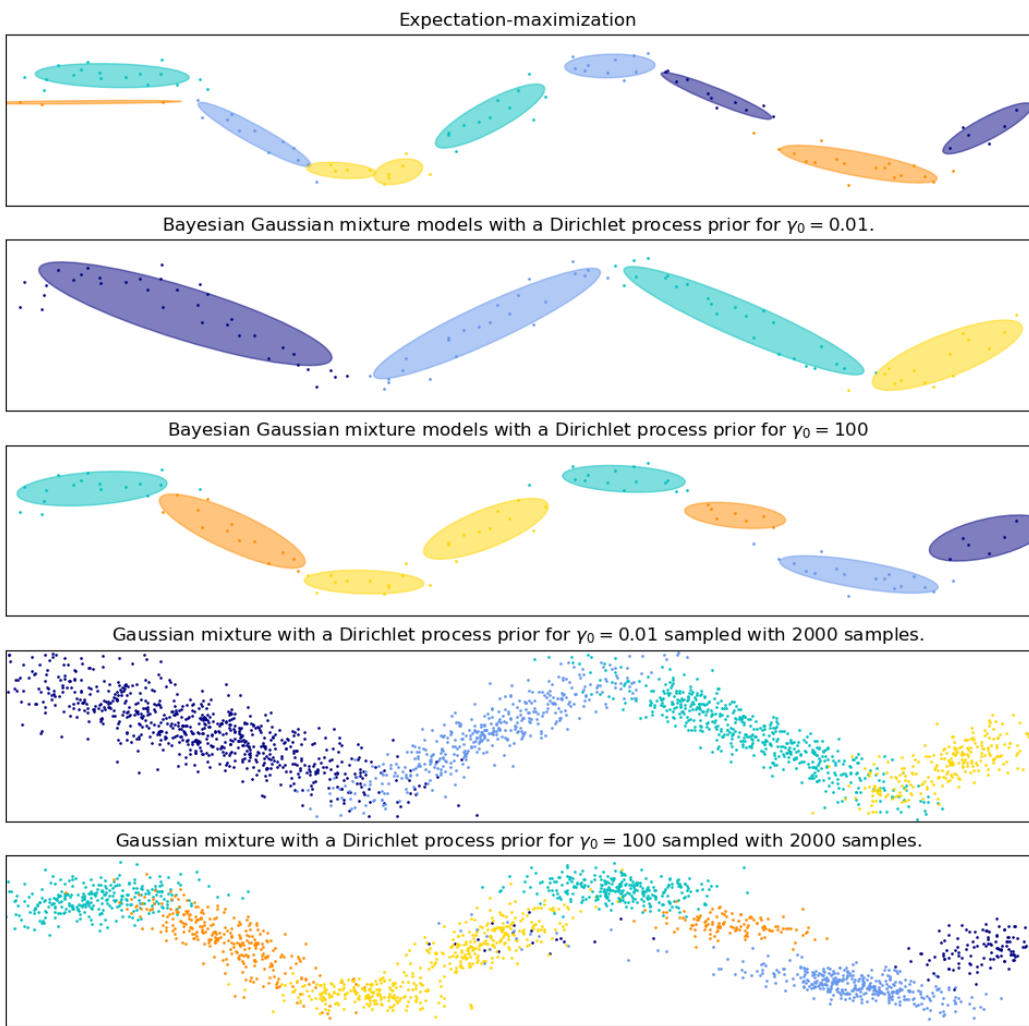


图 3.9: EM 算法与不同先验强度下的贝叶斯 GMM 的详细聚类效果对比。

– 核心技术：

- * **用户画像构建：** AI 通过分析用户填写的问卷（包含财务状况、投资目标、风险偏好等），结合其消费和行为数据，构建精准的用户画像。
- * **资产配置模型：** 这是智能投顾的核心。系统主要应用**现代投资组合理论**（Modern Portfolio Theory, MPT），通过**二次规划**（Quadratic Programming）等优化算法，寻找在给定预期收益水平下，风险（即投资组合的方差）最小的资产组合。
- * **动态再平衡：** AI 系统持续监控市场波动导致的资产偏离，当偏离度超过设定阈值时，自动执行交易，使投资组合重新回到目标配置上。
- **原理与公式：** MPT 的核心是构建“有效前沿”（Efficient Frontier）。对于一个包含 n 种资产的投资组合，其预期收益率 $E(R_p)$ 和风险（方差） σ_p^2 分别为：

$$E(R_p) = \sum_{i=1}^n w_i E(R_i)$$

$$\sigma_p^2 = \sum_{i=1}^n \sum_{j=1}^n w_i w_j \text{Cov}(R_i, R_j)$$

其中， w_i 是第 i 种资产的投资权重， $E(R_i)$ 是其预期收益率， $\text{Cov}(R_i, R_j)$ 是资产 i 和 j 收益率的协方差。智能投顾的目标是在满足 $\sum w_i = 1$ 的约束下，通过调整权重 w_i 来求解最优的资产配置方案。

- **交通：** 自动驾驶技术是 AI 在交通领域的核心体现，它通过复杂的感知、决策和控制系统，致力于提升道路安全与运输效率。其技术核心在于**多传感器融合**，以确保系统对周围环境有全面、准确的理解。

自动驾驶中的多传感器融合与感知

自动驾驶的“眼睛”和“耳朵”由多种传感器构成，单一传感器存在局限性（如摄像头受光照影响，雷达分辨率低），因此必须将它们的信息融合起来，形成一个比任何单一来源都更可靠的环境表征。

- **核心技术概览：** 深度学习算法是传感器融合与感知的基石。如图 3.10 所示，这些算法主要分为两大类：用于处理图像等空间数据的**卷积神经网络**（CNN），以及用于处理序列数据的**循环神经网络**（RNN）。
- **端到端融合架构：** 现代自动驾驶系统倾向于采用端到端的学习模型。如图 3.11 所示，系统并行处理来自不同传感器的数据流：
 - * **RGB 图像**由视觉模型（如 ViT，视觉 Transformer）处理。

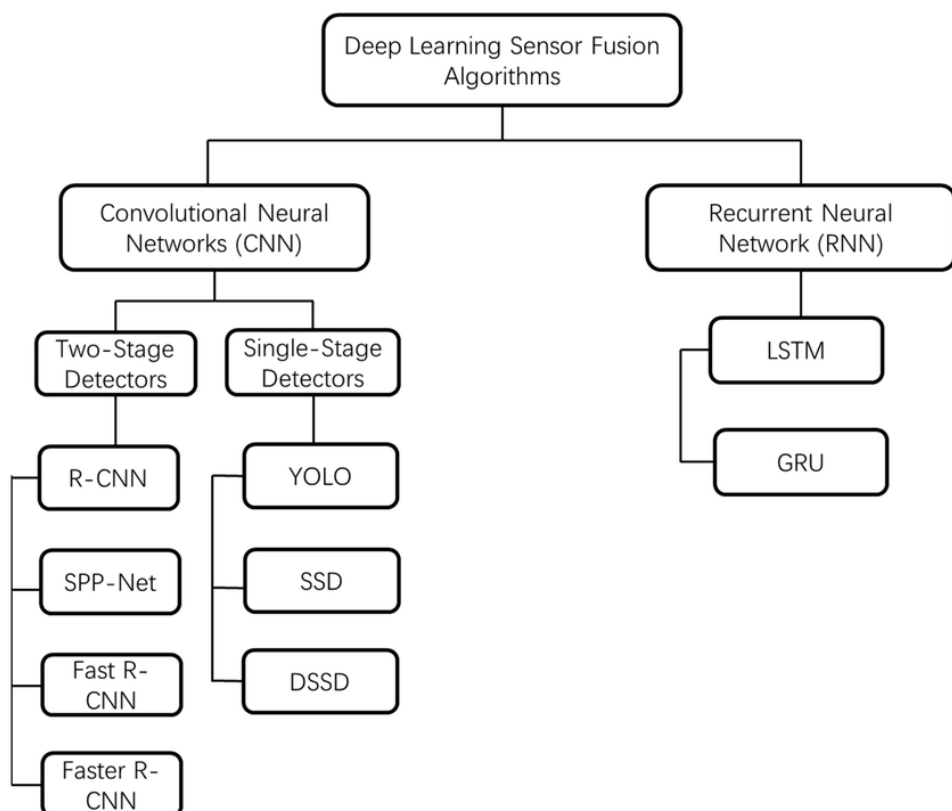


图 3.10: 用于传感器融合的深度学习算法分类, 展示了 CNN 和 RNN 两大技术分支及其典型模型。

- * 深度图像由 DenseNet 等 CNN 模型处理。
- * 激光雷达点云由专门的 PointNet 系列模型处理。

这些模型各自提取特征，然后通过一个融合模块（如图中的 SCP 和 RTA）将特征进行整合，最终输出驾驶决策（如方向、油门、刹车）。

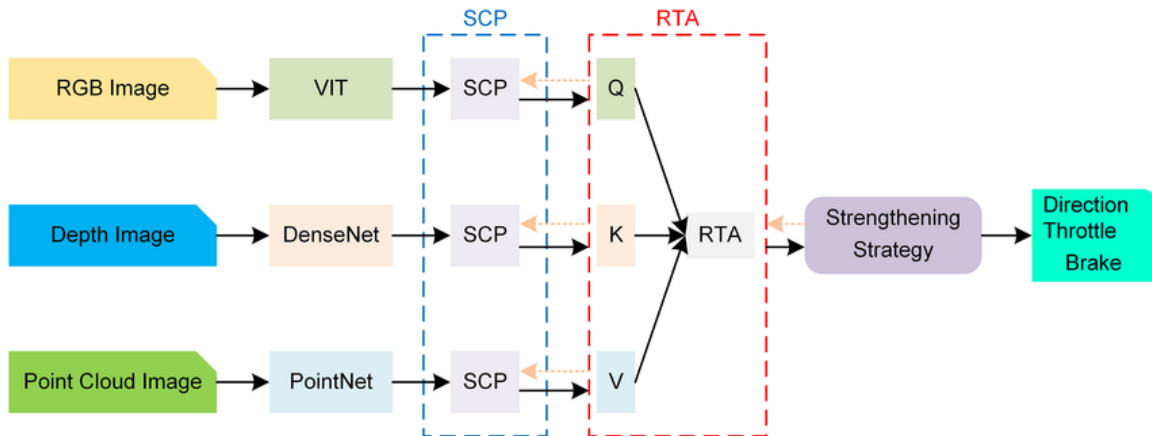


图 3.11: 一个典型的自动驾驶多传感器融合架构，展示了从 RGB 图像、深度图像和点云输入，经过并行处理与融合，到最终输出驾驶策略的完整流程。

– 感知模块详解：

- * **图像处理：** CNN 通过卷积操作提取图像特征。一个基本的卷积运算可以表示为：

$$(f * g)(i, j) = \sum_m \sum_n f(m, n)g(i - m, j - n)$$

其中 f 是输入图像， g 是卷积核。通过堆叠多个卷积层和池化层，模型能学习到从边缘到物体的层次化特征，如图 3.12a 所示。更先进的模型如视觉 Transformer (ViT) (架构如图 3.12b) 则通过自注意力机制捕捉图像的全局依赖关系。

- * **点云处理：** 对于 LiDAR 产生的 3D 点云，PointNet (架构如图 3.13) 等模型通过直接处理点集，学习其空间分布特征，有效解决了点云数据无序性和不规则性的问题。
- * **特征融合机制：** 来自不同传感器的特征流需要有效融合。这通常通过拼接 (Concatenation)、逐元素相加或更复杂的注意力机制 (Attention Mechanism) 来实现。图 3.14 展示了一种可能的特征融合过程。

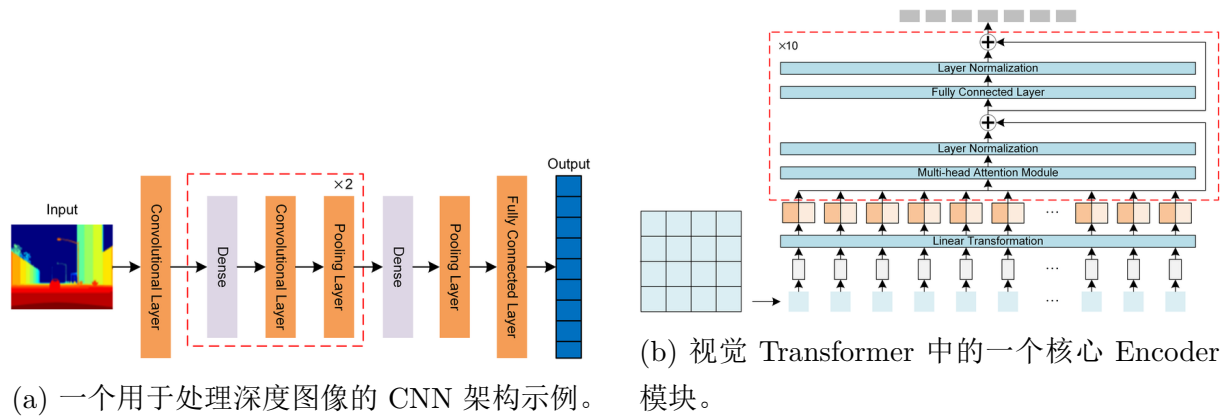


图 3.12: 用于图像处理的两种主流深度学习模型架构。

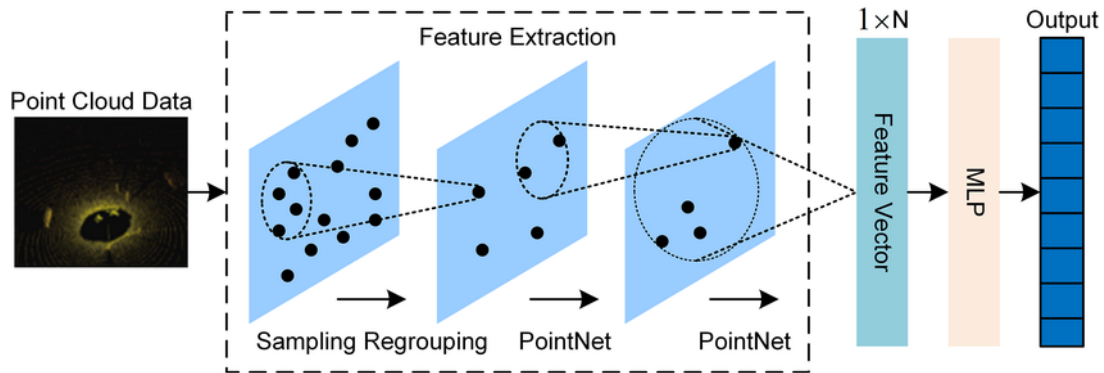


图 3.13: PointNet 模型处理激光雷达点云数据的流程示意图。

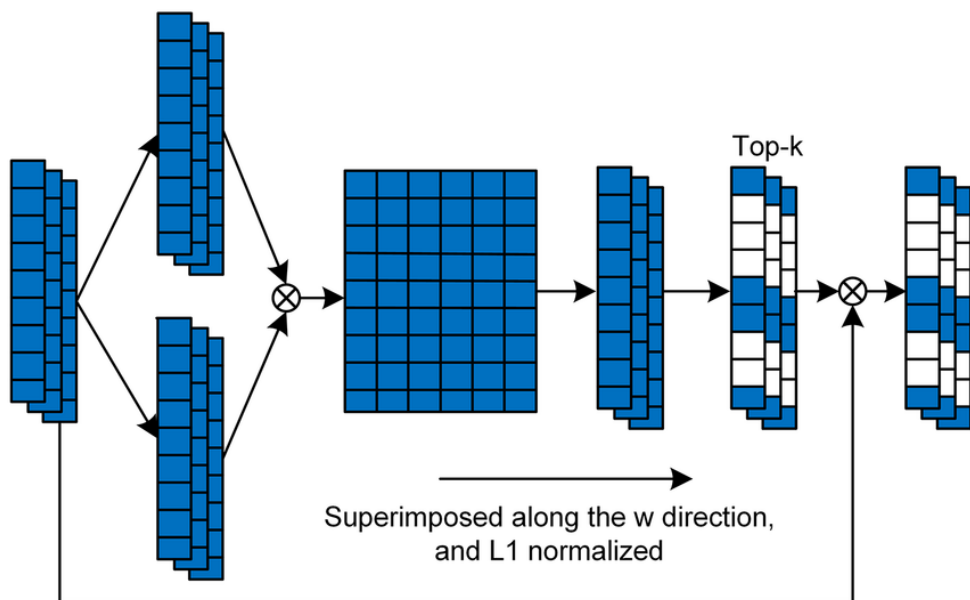


图 3.14: 一种特征融合机制的示意图，可能代表了注意力或特征叠加操作。

定位与导航：车辆的自我感知

除了感知外部环境，车辆还必须精确知道自身的位置和姿态。这同样依赖于多传感器融合，但更侧重于惯性导航系统（INS）、全球导航卫星系统（GNSS）和里程计等。

- **核心技术：卡尔曼滤波 (Kalman Filter)** 及其变体（如扩展卡尔曼滤波 EKF、无迹卡尔曼滤波 UKF）是该领域的核心算法。它是一种最优递归数据处理算法，能在一系列不完全和包含噪声的测量中，估计动态系统的状态。
- **原理与架构：**系统通过一个主滤波器融合来自不同子系统（如 SINS、里程计 OD、激光多普勒测速仪 LDV）的信息，如图 3.15a 所示。其核心的状态更新方程为：

$$\hat{x}_k = \hat{x}_{k|k-1} + K_k(z_k - H_k\hat{x}_{k|k-1})$$

其中， \hat{x}_k 是当前时刻的状态估计值， $\hat{x}_{k|k-1}$ 是基于上一时刻状态的预测值， z_k 是当前时刻的测量值， K_k 是卡尔曼增益，它平衡了预测值和测量值的不确定性。图 3.15b 展示了一个利用卡尔曼精对准的惯性系统校准流程，而图 3.16 则显示了进行有效融合前，必须完成的多传感器标定步骤。

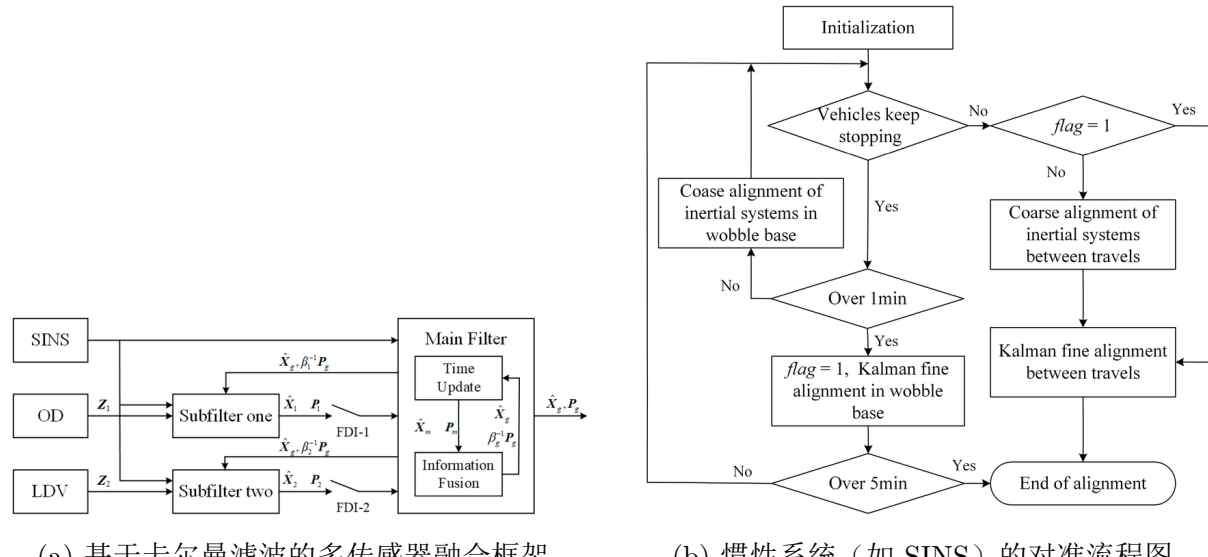


图 3.15: 车辆定位中的传感器信息融合与校准流程。

- **工业：**在工业 4.0 的浪潮中，人工智能正驱动着制造业向智能化、柔性化和高效化转型，其核心应用体现在智能制造和预测性维护两大方面。

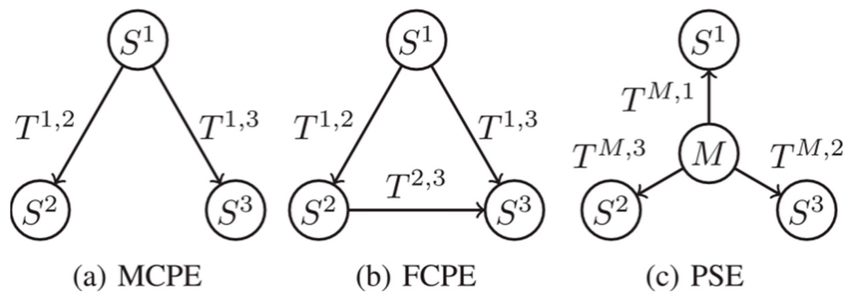


图 3.16: 自动驾驶系统中常见的多传感器标定拓扑结构。

智能制造与自动化

AI 技术通过赋予机器“视觉”和“决策能力”，实现了生产线的高度自动化和智能化。

- 核心技术:

- * **AI 质检（视觉检测）：**利用高分辨率相机和卷积神经网络（CNN），AI 可以替代人眼完成产品表面缺陷的检测。模型如 YOLO（You Only Look Once）或 Faster R-CNN 能够实时地在生产线上定位并识别出划痕、污点、裂纹等微小瑕疵，准确率和速度远超人工。
- * **机器人协同作业：**工业机器人通过强化学习学会复杂的操作任务，如精密装配和焊接。通过在模拟环境中进行大量“试错”训练，机器人能够学习到最优的动作序列，以适应不同工件和生产需求。
- * **生产流程优化：**AI 分析整个生产流程的数据，识别瓶颈工序，并通过运筹学优化算法（如模拟退火、遗传算法）对生产计划、物料调度进行优化，以达到生产效率的最大化。

预测性维护（Predictive Maintenance, PdM）

预测性维护旨在设备发生故障前，通过 AI 分析其运行数据，提前预测故障并安排维修，从而最大限度地减少非计划停机时间，降低维护成本。

- 核心技术：主要基于对设备传感器（如振动、温度、压力传感器）产生的时序数据进行分析。

- * **故障预测：**长短期记忆网络（LSTM）或门控循环单元（GRU）等 RNN 模型非常适合处理这类时序数据，它们能够学习设备正常运行时的模式，并预测未来的状态。当预测值与正常阈值出现显著偏差时，系统就会发出预警。

- * **剩余使用寿命（RUL）预测：** AI 模型可以直接对设备的剩余使用寿命进行回归预测。这是一个典型的回归问题，其目标是学习一个从传感器读数序列到剩余寿命时间的映射函数。
- **原理与公式：**一个简化的时间序列预测模型可以表示为：

$$\hat{X}_{t+1} = f(X_t, X_{t-1}, \dots, X_{t-k}; \theta)$$

其中， \hat{X}_{t+1} 是对下一时刻传感器读数的预测值， X_t, \dots, X_{t-k} 是过去 k 个时刻的观测值序列， f 是由 AI 模型（如 LSTM）所代表的复杂非线性函数， θ 是模型参数。通过最小化预测值与真实值之间的误差（如均方误差），模型能够学习到设备状态的演变规律。

- **教育：**人工智能正逐步渗透到教育的各个环节，通过技术手段推动因材施教和个性化发展，致力于提升学习效率和教育公平。

个性化学习与智能推荐

AI 能够打破“一刀切”的传统教学模式，为每个学生量身定制独特的学习内容和路径。

- **核心技术：**
 - * **知识图谱（Knowledge Graph）：** AI 首先将学科知识构建成一个由知识点（节点）和它们之间的依赖关系（边）组成的网络。
 - * **认知诊断与知识追踪（Cognitive Diagnosis & Knowledge Tracing）：** AI 通过分析学生的练习、测验和互动数据，利用贝叶斯网络或深度学习模型（如 DKT - Deep Knowledge Tracing），动态追踪每个学生对各个知识点的掌握程度。
 - * **推荐算法：** 基于学生的知识掌握状态和学习目标，AI 采用类似电商推荐的协同过滤或基于内容的推荐算法，为学生推荐最适合他们的学习资源（如视频、习题、阅读材料），以弥补薄弱环节或进行拓展学习。
- **原理与概念：**一个学生 u 对一个知识点 i 的掌握概率 $P(K_i|u)$ 可以通过模型进行估计。推荐系统的目标是找到一个项目 j （学习资源），使得该项目能最大化学生的预期知识增益 $E[\Delta K|u, j]$ 。一个简化的推荐逻辑可以是：

$$\text{Item}^* = \arg \max_{j \in I} (w_1 \cdot \text{relevance}(j, u) - w_2 \cdot \text{difficulty}(j, u))$$

其中， relevance 衡量资源与学生知识薄弱点的相关性， difficulty 衡量资源的难度是否与学生当前水平匹配， w_1, w_2 为权重。

智能辅导系统与自动评估

AI 充当着 24/7 在线的智能导师，为学生提供即时帮助，并解放教师的重复性批改工作。

— 核心技术：

- * **智能问答 (QA)**: 基于自然语言处理 (NLP) 和大型语言模型 (LLM)，智能辅导系统能够理解学生用自然语言提出的问题，并提供精准的解答或引导性的提示。
- * **自动作文评分 (Automated Essay Scoring, AES)**: AI 通过分析大量已评分的作文，学习评分标准。它利用 NLP 技术提取文本的特征，如词汇丰富度、句子结构复杂度、逻辑连贯性 (如使用词嵌入和 Transformer 模型进行语义分析)，然后通过一个回归模型预测作文的分数。
- * **口语测评**: AI 通过语音识别 (ASR) 技术将学生的朗读转换为文本，然后从流利度、发音准确性和韵律等多个维度进行综合评分。

3.1.2 社会生活

AI 技术也深刻改变了人们的日常生活：

- **智能家居**: 智能音箱、智能照明等设备通过 AI 实现互联互通和智能控制，提升了居住舒适度。
- **个性化推荐**: 电商平台、流媒体服务等利用 AI 算法分析用户偏好，精准推荐商品、影视内容或音乐，极大丰富了用户的选择。
- **智能助手**: 手机上的语音助手、智能客服等为用户提供便捷的信息查询、日程管理和任务执行服务。

3.2 伦理、社会与法律挑战

随着 AI 应用的深入，其带来的伦理、社会和法律挑战日益凸显，需要全球共同应对。

3.2.1 数据隐私与安全

大数据是 AI 模型训练的基石，但大规模数据的收集和使用也带来了严峻的隐私泄露风险。如何平衡数据利用与个人隐私保护，是当前亟待解决的问题。

3.2.2 算法偏见与公平性

AI 模型的训练数据往往反映了现实世界中的偏见，这可能导致算法在决策过程中产生歧视，例如在招聘、信贷审批等方面出现不公平现象。确保算法的公平性和透明度至关重要。

3.2.3 就业市场冲击

自动化和 AI 技术的普及将对传统职业构成冲击，部分重复性、程式化的工作可能被机器替代。与此同时，AI 的发展也将催生新的职业和就业机会，社会需要适应这一结构性变化。

3.2.4 伦理道德与责任

随着 AI 系统决策能力的增强，其在医疗、法律等领域的应用将面临复杂的道德困境。当 AI 系统出现错误或造成损害时，责任应如何归属，是亟待明确的法律和伦理问题。

3.2.5 人工智能安全

AI 系统并非完美无缺，其脆弱性可能被恶意利用，例如对抗性攻击可能导致 AI 模型做出错误判断。此外，AI 的潜在滥用风险，如用于自动化武器系统，也引发了广泛担忧。

3.3 AI 治理与政策

为应对 AI 带来的挑战，全球各国正在积极探索和实践 AI 治理框架和政策。

3.3.1 全球各国探索与实践

- **欧盟：**欧盟在 AI 伦理准则和法规制定方面走在前列，例如《人工智能法案》旨在规范 AI 的高风险应用。
- **美国：**美国注重通过行业自律和政府指导相结合的方式推动 AI 发展，并关注 AI 的国家安全应用。
- **中国：**中国在 AI 发展方面展现出强大的国家战略，并积极推动 AI 伦理规范和标准制定。

3.3.2 国际合作与全球治理的重要性

AI 技术具有无国界性，其影响是全球性的。因此，国际社会需要加强合作，共同制定 AI 伦理准则、技术标准和法律框架，以确保 AI 的健康、可持续发展。

3.4 未来趋势与展望

人工智能的未来发展充满无限可能，也将对人类社会产生深远影响。

3.4.1 通用人工智能（AGI）的潜在路径与挑战

通用人工智能（Artificial General Intelligence, AGI）是 AI 研究的终极目标之一，它旨在使 AI 系统具备人类的智能水平，能够完成各种认知任务，甚至在未曾明确编程的领域展现出学习、理解和解决问题的能力。AGI 的实现路径和潜在挑战是当前 AI 领域研究的热点。

目前，AGI 的潜在路径主要包括：

- **符号主义与连接主义的融合：**结合传统符号 AI 的逻辑推理能力与深度学习的模式识别能力，构建既能进行高层抽象推理，又能从大量数据中学习的混合系统。这可能涉及将知识图谱、逻辑编程等与神经网络相结合。
- **大规模预训练模型：**延续当前大型语言模型（LLMs）和多模态模型的发展路线，通过海量数据和计算资源训练超大规模模型，期望能通过“涌现能力”达到通用智能。这依赖于模型的规模效应和更高效的训练算法。
- **具身智能与强化学习：**强调 AI 系统与物理世界的交互，通过具身（embodied）体验和强化学习（Reinforcement Learning, RL）来学习常识、因果关系和复杂技能，类似于人类儿童通过探索世界来学习。

AGI 面临的挑战是巨大的：

- **常识推理与因果理解：**现有 AI 模型在处理常识性问题和理解因果关系方面仍显不足，这对于通用智能至关重要。
- **学习效率与数据需求：**现有深度学习模型通常需要海量数据进行训练，而人类往往能从少量样本中快速学习并泛化。
- **可解释性与透明度：**随着模型复杂性增加，其决策过程变得不透明，难以理解和信任。

- **安全与控制:** 如何确保 AGI 系统与人类价值观对齐, 防止其产生意料之外的行为, 是核心的安全挑战。
- **计算资源瓶颈:** 训练和运行 AGI 可能需要前所未有的计算能力和能源消耗。

为了更深入地理解 AGI 的潜力与挑战, 研究者们通过各种实验和模型来评估其在不同学习场景下的表现。以下图表展示了一些关键的发现和概念:

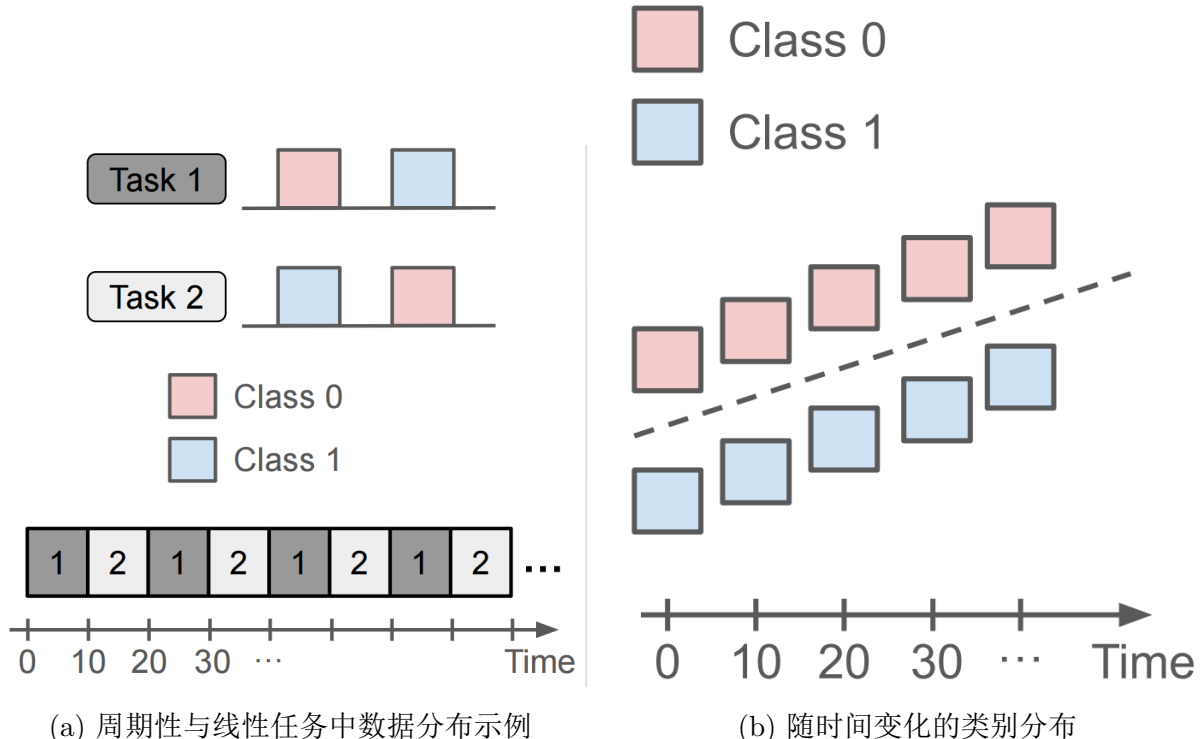


图 3.17: 通用人工智能任务中的数据特性与挑战。左图展示了在不同任务 (Task 1, Task 2) 下, 数据点类别 (Class 0, Class 1) 的周期性与线性变化, 反映了 AGI 需要适应不同时间动态的数据。右图进一步细化了数据点类别随时间的线性演变, 这对于模型在动态环境中学习和泛化提出了挑战。

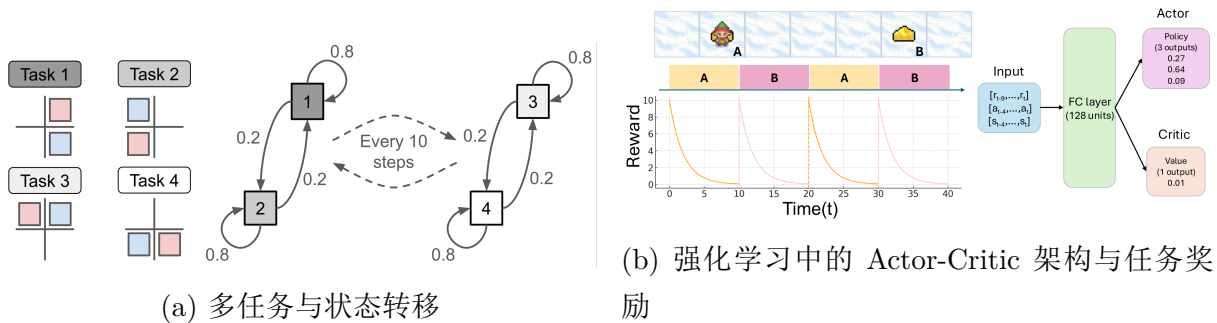


图 3.18: 通用智能体学习环境与架构。左图展示了不同任务 (Task 1-4) 的配置, 以及在不同任务状态之间转换的概率, 突出了 AGI 在多任务学习和任务切换方面的能力需求。右图则描绘了强化学习中 Actor-Critic 模型的输入、网络层和输出, 以及智能体在不同任务阶段的奖励变化, 是 AGI 实现复杂行为控制的典型范式。

AGI 的性能评估不仅关注其在特定任务上的准确率, 更关注其在未知或动态环境下的适应性和泛化能力。以下图表展示了模型在风险预测和学习效率方面的表现:

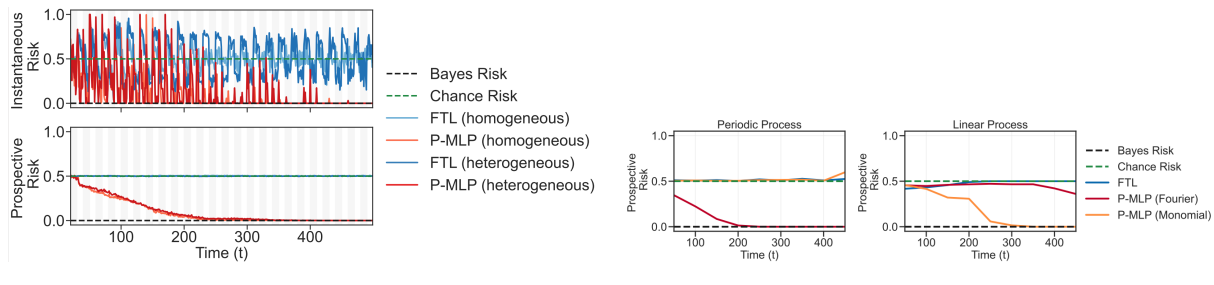


图 3.19: 通用智能体在不同数据环境中的风险表现。左图对比了不同算法 (FTL, P-MLP) 在同构和异构环境下的即时风险和预期风险, 展示了模型在处理复杂、非稳定数据时的鲁棒性。右图则细致分析了 P-MLP 模型在周期性和线性过程中的预期风险, 表明其在特定数据模式下能有效降低风险, 接近最优水平。

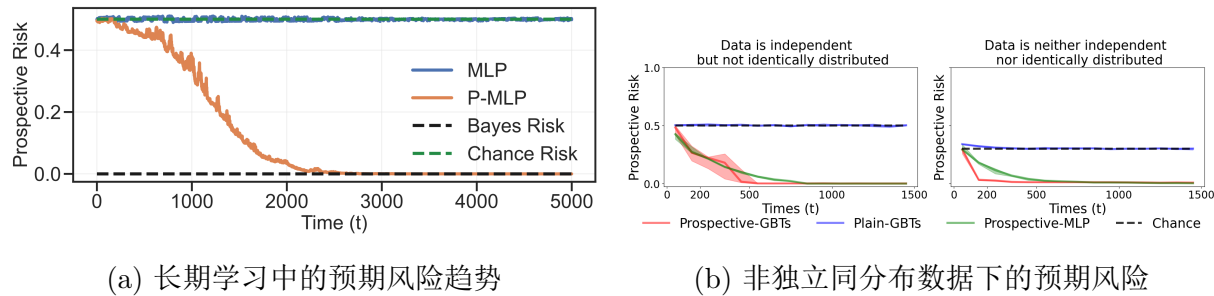


图 3.20: 通用智能体在复杂数据条件下的学习与风险控制。左图展示了 MLP 和 P-MLP 模型在长时间学习过程中预期风险的变化，突出 P-MLP 在持续学习和风险降低方面的优势。右图进一步探讨了当数据不满足独立同分布 (IID) 假设时，不同算法 (Prospective-GBDTs, Plain-GBDTs, Prospective-MLP) 的预期风险，强调 AGI 处理真实世界复杂数据时的必要性。

为了量化 AGI 在通用能力上的突破，研究者们提出了“Jolt Analysis”，旨在识别性能曲线中显著的、非线性的跳跃，这可能预示着模型涌现出新的能力。

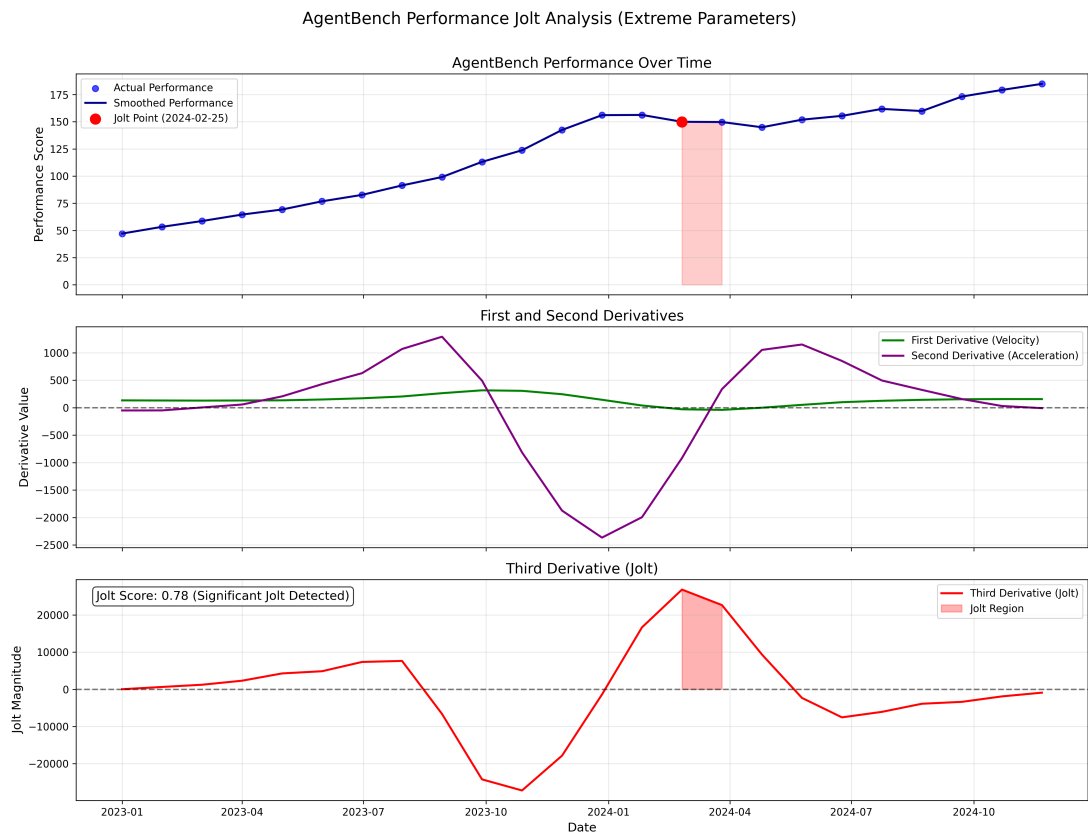


图 3.21: AgentBench 性能的 Jolt 分析

图 3.21 展示了 AgentBench 性能随时间的变化，并对其一阶、二阶、三阶导数 (Jolt) 进行分析，以识别性能上的“显著跳跃”或“涌现点”。这种分析方法旨在更精确地捕

捉 AGI 发展中的非线性进展，而不是仅仅依赖于平均性能的线性提升。

AGI 的最终目标可以概念化为一个通用优化问题，它不仅要最小化错误，还要最大化知识获取和泛化能力。我们可以设想一个通用的学习目标函数，它旨在多种任务和环境中实现最优表现：

$$\mathcal{L}_{\text{AGI}}(\theta) = \sum_{i=1}^M \mathbb{E}_{x \sim \mathcal{D}_i} [L(f_\theta(x), y_i(x))] + \lambda_1 \mathcal{R}_{\text{knowledge}}(\theta) - \lambda_2 \mathcal{R}_{\text{complexity}}(\theta)$$

其中， M 是任务的数量， \mathcal{D}_i 是第 i 个任务的数据分布， L 是损失函数， f_θ 是由参数 θ 定义的 AGI 模型， $\mathcal{R}_{\text{knowledge}}$ 是知识累积或泛化能力的正则项（目标是最大化）， $\mathcal{R}_{\text{complexity}}$ 是模型复杂度的惩罚项（目标是最小化）， λ_1, λ_2 是权重系数。这个公式强调了 AGI 不仅要完成已知任务，还要不断学习、积累知识，并保持一定的效率和简洁性。

3.4.2 人机协作的深化与人机共生社会

未来，人与机器将更加紧密地协作，AI 将成为人类的智能助手和增强工具。这种深化的人机协作将逐渐形成人机共生社会，共同推动社会进步。这种协作不仅仅是简单的工具使用，而是涉及知识共享、任务分配、共同决策和相互适应的复杂动态过程。

深化的人机协作体现在：

- **增强人类智能：** AI 系统将作为“认知助手”，帮助人类处理信息过载、进行复杂分析、提供决策支持，从而提升人类的创造力、生产力与解决问题的能力。例如，在医疗诊断、科学研究所金融分析中，AI 可以快速处理大量数据并提供洞察。
- **智能自动化与互补：** AI 将接管重复性、危险性或高精度的任务，解放人类去从事更具创造性、社交性或情感性的工作。人与机器将形成互补关系，各自发挥所长，共同完成复杂项目。例如，在工厂中，机器人处理物理劳动，而人类负责监督、编程和解决突发问题。
- **情感与社会互动：** 随着 AI 在自然语言处理、情感识别和生成方面的进步，未来的 AI 系统将能以更自然、更具同理心的方式与人类互动，例如在客户服务、教育辅导和老年护理等领域。
- **人机共学习：** 不仅仅是机器向人类学习，人类也将通过与 AI 系统的互动，学习新的知识和技能，甚至改变思维方式。

3.4.3 人工智能在可持续发展目标中的作用

AI 有望在解决全球性挑战方面发挥关键作用，特别是在推动联合国可持续发展目标（SDGs）的实现上，其潜力巨大。

- **气候变化:** AI 可以助力应对气候变化, 例如:
 - **气候模型预测与优化:** 利用 AI 分析和融合多源气候数据, 构建更精确的气候模型, 预测极端天气事件和气候变化趋势, 从而更好地规划应对策略。
 - **能源系统优化:** 智能电网利用 AI 预测能源需求和可再生能源 (如太阳能、风能) 的波动性, 优化电力分配, 提高能源效率, 减少对化石燃料的依赖。
 - **碳排放监测与管理:** AI 结合卫星图像和传感器数据, 可以更精确地监测温室气体排放源, 评估减排效果, 并优化碳捕获与储存技术。
 - **智慧农业:** 通过 AI 监控土壤健康、作物生长和水资源利用, 实现精准农业, 减少农药和化肥使用, 降低农业碳足迹。
- **能源优化:** AI 能够优化能源生产、分配和消耗, 提高能源利用效率。
 - **建筑能源管理:** 智能建筑系统利用 AI 实时调节照明、暖通空调等, 根据 occupancy 和天气预测优化能源消耗。
 - **工业生产优化:** AI 分析生产线数据, 优化设备运行参数, 减少能耗和废弃物, 提升工业能效。
 - **交通流量管理:** AI 优化交通信号、路线规划和公共交通调度, 减少交通拥堵, 降低燃料消耗和排放。

3.4.4 对人类社会未来发展的深远影响与启示

人工智能的发展将深刻重塑人类社会, 从经济结构到文化生活都将受到影响, 并引发对就业、道德、隐私和治理等方面深刻反思。

- **经济转型:** AI 将推动产业升级和新经济模式的诞生, 但也会加速传统行业的自动化, 引发就业结构性变化。社会需要投资于劳动力再培训和终身学习, 以适应新的人才需求。
- **文化与创意重塑:** AI 在艺术、音乐、写作等领域的生成能力, 将模糊人类与机器创作的界限, 带来新的文化形式和伦理挑战。
- **社会治理与公平:** AI 在公共服务、司法和政策制定中的应用, 需要建立严格的伦理准则和监管框架, 确保算法的公平性、透明度和可问责性, 避免加剧社会不平等和偏见。
- **人类身份与价值:** 随着 AI 能力提升, 人类将重新审视自身的独特价值, 可能促使我们更关注创造力、批判性思维、情感智能和人际交往等非机械化能力。

- **全球合作与伦理共识:** AI 技术的全球性影响要求各国加强国际合作，共同制定 AI 伦理规范、技术标准和法律框架，以确保 AI 的发展符合全人类的福祉和价值观。

我们需要以开放的心态拥抱 AI 带来的机遇，同时审慎应对其挑战，通过跨学科研究、政策创新和公众教育，构建一个负责任、可持续且普惠的人工智能生态系统，确保 AI 的发展能够真正造福全人类，构建一个更加智能、高效和可持续的未来。

参考文献

- [1] CASAL-OTERO L, CATALA A, FERNÁNDEZ-MORANTE C, et al. AI literacy in K-12: a systematic literature review[J]. International Journal of STEM Education, 2023, 10(1): 29.
- [2] ZHAI X, CHU X, CHAI C S, et al. A Review of Artificial Intelligence (AI) in Education from 2010 to 2020[J]. Complexity, 2021, 2021(1): 8812542.
- [3] MAHESH B, et al. Machine learning algorithms-a review[J]. International Journal of Science and Research (IJSR).[Internet], 2020, 9(1): 381-386.
- [4] LECUN Y, BENGIO Y, HINTON G. Deep learning[J]. nature, 2015, 521(7553): 436-444.
- [5] GLIELMO A, HUSIC B E, RODRIGUEZ A, et al. Unsupervised learning methods for molecular simulation data[J]. Chemical Reviews, 2021, 121(16): 9722-9758.
- [6] MATSUO Y, LECUN Y, SAHANI M, et al. Deep learning, reinforcement learning, and world models[J]. Neural Networks, 2022, 152: 267-275.
- [7] AHMED S F, ALAM M S B, HASSAN M, et al. Deep learning modelling techniques: current progress, applications, advantages, and challenges[J]. Artificial Intelligence Review, 2023, 56(11): 13521-13617.
- [8] JUNG C G, HULL R. Concerning Mandala Symbolism 1[G]//Collected works of CG Jung. Routledge, 2023: v9i_357-v9i_386.
- [9] MAURER H. Cognitive science: Integrative synchronization mechanisms in cognitive neuroarchitectures of modern connectionism[M]. CRC Press, 2021.
- [10] SHEHADEH A, ALSHBOUL O, AL-SHBOUL K F, et al. An expert system for highway construction: Multi-objective optimization using enhanced particle swarm for optimal equipment management[J]. Expert Systems with Applications, 2024, 249: 123621.
- [11] XU L. Separable multi-innovation Newton iterative modeling algorithm for multi-frequency signals based on the sliding measurement window[J]. Circuits, Systems,

- and Signal Processing, 2022, 41(2): 805-830.
- [12] 周培诚, 程燦, 姚西文, 等. 高分辨率遥感影像解译中的机器学习范式[J]. 遥感学报, 2021, 25(1): 182-197.
- [13] RANI V, NABI S T, KUMAR M, et al. Self-supervised learning: A succinct review [J]. Archives of Computational Methods in Engineering, 2023, 30(4): 2761-2775.
- [14] NEUER M J. Unsupervised learning[G]//Machine Learning for Engineers: Introduction to Physics-Informed, Explainable Learning Methods for AI in Engineering Applications. Springer, 2024: 141-172.
- [15] SHAKYA A K, PILLAI G, CHAKRABARTY S. Reinforcement learning algorithms: A brief survey[J]. Expert Systems with Applications, 2023, 231: 120495.
- [16] HUSSAIN H, TAMIZHARASAN P, RAHUL C. Design possibilities and challenges of DNN models: a review on the perspective of end devices[J]. Artificial Intelligence Review, 2022: 1-59.
- [17] CROITORU F A, HONDRU V, IONESCU R T, et al. Diffusion models in vision: A survey[J]. IEEE Transactions on Pattern Analysis and Machine Intelligence, 2023, 45(9): 10850-10869.